

根の呼吸および吸水に関する環境生理学的研究

吉田, 敏

<https://doi.org/10.11501/3078962>

出版情報 : 九州大学, 1994, 博士 (農学), 論文博士
バージョン :
権利関係 :

根の呼吸および吸水に関する
環境生理学的研究

吉 田 敏

1994

①

根の呼吸および吸水に関する
環境生理学的研究

吉 田 敏

1994

根の呼吸および吸水に関する環境生理学的研究

目次

第1章 緒言	1
第2章 水耕における根の呼吸および吸水のオンライン計測	7
2-1 気密水耕装置における根部環境制御システム	7
2-2 ポーラログラフ方式O ₂ センサによる根のO ₂ 吸収の計測	10
2-3 ポテンシオメトリCO ₂ センサによる根のCO ₂ 放出の計測	14
2-4 電気水位計-ポトメータによる根の吸水の計測	21
第3章 水耕における根の形態	28
3-1 植物材料および生育条件	28
3-2 根の形態の評価法	31
3-3 根の形態に対する溶存O ₂ 濃度の作用	36

第4章 根の呼吸および吸水に対する根温の作用	46
4-1 根の呼吸の温度依存性	46
4-2 根の吸水の温度依存性	53
4-3 根の通水抵抗に対する根温の作用	56
第5章 根の呼吸への基質の転流およびO ₂ の輸送	67
5-1 気密チャンバにおける空気制御システム	68
5-2 ¹³ C ₂ O ₂ トレーシングによる光合成固定炭素の 根への転流の動態解析	72
5-3 O ₂ 欠乏根部環境における根の呼吸および吸 水の動態	79
5-4 ¹⁸ O ₂ トレーシングによる地上部O ₂ の根の呼 吸への輸送の解析	83
5-5 根の呼吸と吸水との関係	89
第6章 総合考察	96
摘要	107
謝辞	111
引用文献	112

第1章 緒言

植物・環境系において根は土壌と植物とのインタフェイスとみなすことができる。その主要な機能は土壌からの水および養分の吸収である (Fitter, 1991)。これらの根の生理的活性は、呼吸に基づく生体エネルギーによって維持されており (Goddard and Meeuse, 1950; James, 1953; Lambers *et al.*, 1991), 根の周辺の物理的, 化学的環境 (根部環境) によって複雑に支配されている。とくに, 土壌水分, 養分, 地温およびガス組成は根の機能をとおして植物の生長と生産を支配している (May *et al.*, 1965; Williamson, 1968; Williamson and Splinter, 1968; Watts, 1972; Nielsen, 1974; Lawrence and Oechel, 1983; Turner *et al.*, 1983; Buwalda *et al.*, 1988; Macduff *et al.*, 1987; Schildwacht, 1989)。さらに, 地上部環境も葉の光合成および蒸散をとおして根の機能に深く関与している (Kozlowski, 1968; Osman, 1971; Aston and Lawlor, 1979;

Whipps, 1984; Hansen *et al.*, 1992). すなわち, 地上部の光合成は根へ呼吸基質を供給し, また蒸散は吸水の駆動力としての水ポテンシャルの勾配を形成する. 地上部の環境要素すなわち光, 気温, 湿度, 風速, CO₂濃度が光合成および蒸散を支配することから (Pallas, 1965; Kramer, 1983; Agata *et al.*, 1985; Kawamitsu *et al.*, 1987), 地上部環境が間接的に根の機能に作用していると考えられる. そこで, これらの環境と根の機能との動的関係を経時的に抽出し, 根の機能に対する環境作用を定量的に解析することが望まれる. このような根の機能の環境生理学的解析は植物生産環境の最適化の研究においても有用な知見を提供するものと考えられる.

根の呼吸については, 生成された生体エネルギーによる生理的過程の維持, すなわち維持呼吸の概念が認められており, 根のイオン吸収およびタンパク質合成との関連が研究されている (Amthor, 1984; Lambers, *et al.*, 1983; Szaniawski and Kielkiewicz, 1982). 従来の研究では, ワールブ

ルグ検圧計等を用いて単離根の呼吸速度が計測され、単離根の呼吸に対する温度および O_2 濃度の作用に関して多くの知見が得られている (Vartape-tian *et al.*, 1978; Girton, 1979; Atwell *et al.*, 1985; Johnson *et al.*, 1989; Tachibana, 1989; Palta and Nobel, 1989bc; Hole *et al.*, 1992). しかし、単離根では光合成および蒸散をとおした地上部環境の作用を解析することが困難である。したがって、根部だけでなく地上部を含めた環境と根の呼吸との動的な関係を把握するためには、非破壊植物個体を対象とした根の呼吸速度等のオンライン計測が必要である。さらに、植物個体における根の呼吸には呼吸基質および O_2 の供給が関連しているので (Huck *et al.*, 1962; Armstrong and Gaynard, 1976; Saglio *et al.*, 1983; Drew *et al.*, 1985; Lambers *et al.*, 1991). 光合成固定炭素の転流および O_2 の輸送について解析することが望まれる。

根に吸収された水は植物体内を経てその大部分が葉から蒸散される。植物体内の水は膨圧による

形態保持，生長，気孔運動に関与し，種々の代謝過程の溶媒および物質移動の媒体となる重要な物質である (Kramer, 1969). 根の吸水に対する環境作用に関する研究の多くは種々の環境条件のもとでの定常状態においてなされており，受動的吸水の物理的過程について多くの知見が得られている (Boyer, 1971; Markhart *et al.*, 1979; 長野・石田, 1984; Palta and Nobel, 1989a; Nobel *et al.*, 1990, 1991; Alm and Nobel, 1991). しかし，根の吸水は代謝活性等の生理的過程にも依存しており (Persons and Kramer, 1974; Shirazi *et al.*, 1975; Clarkson, 1976; Veen, 1977; Koide, 1985; Lopez and Nobel, 1991), 水の透過性における生理的過程の環境依存性について解析することが重要である. また，吸水に対する環境作用の機作をより定量的に明らかにするためには，環境に対する根の吸水の動態を把握することが有効であると考えられ (Andersen *et al.*, 1984; Everard and Drew, 1987, 1989), このためのオンライン計測法の確立が必要である.

このような観点から根の呼吸および吸水に対する環境作用を解析するためには、諸環境要素の厳密な計測と制御、ならびに根の生体計測が重要な課題となる。しかし、諸要素が複合する土壤環境の計測と制御、ならびに土壤における根の生長、形態、生理的活性の生体計測には困難をともなう (Kramer and Jackson, 1954; Scotter *et al.*, 1967)。一方、水耕では根系全体を均一な培養液に浸して栽培することができるので、根部環境の計測と制御、さらに根の生体計測が土耕に比して容易となり、とくに呼吸速度および吸水速度のオンライン計測が可能となる。本研究では、根の呼吸と吸水に対する根部および地上部の環境の作用について解析することを目的として、制御環境における根の呼吸速度と吸水速度を計測する水耕システムを開発するとともに (第2章)、根の形態の定量的計測法を確立して水耕における根の特性を検討したうえで (第3章)、根の機能に対する環境作用として、根の呼吸と吸水に対する根温の作用について解析した (第4章)。さらに、安定

同位体 ($^{13}\text{CO}_2$ および $^{18}\text{O}_2$) を用いたトレーサ分析および根の呼吸に対する地上部環境作用の解析に基づき、呼吸基質としての光合成固定炭素および O_2 の根における呼吸への供給について明らかにした (第 5 章)。以上で得られた結果から根の呼吸と吸水に対する環境作用について総合的に考察した (第 6 章)。

第2章 水耕における根の呼吸および吸水のオンライン計測

根の呼吸および吸水に対する環境作用の解析のためには制御された根部環境における根のガス交換 (O_2 吸収および CO_2 放出) 速度および吸水速度のオンライン計測が必要である。その計測システムの構築においては、根部環境を気密にして外気とのガス交換を遮断することによって、根部環境の O_2 および CO_2 の濃度変化から根のガス交換速度を評価することが可能となると考えられる。本章では、気密水耕装置 (airtight hydroponic system) において根部環境を制御し、 O_2 吸収速度、 CO_2 放出速度および吸水速度を計測するシステムの開発について述べる (Yoshida and Eguchi, 1988)。

2-1 気密水耕装置における根部環境制御システム

Fig.1 に、気密水耕装置における根部環境制御

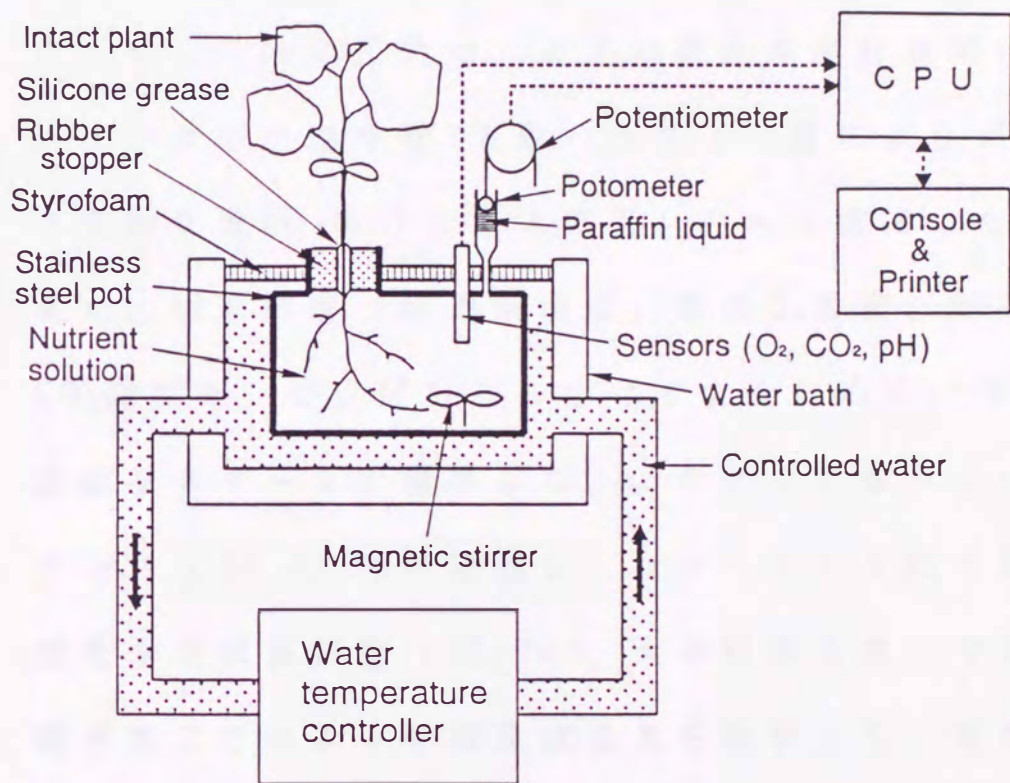


Figure 1. Schematic diagram of instrumentation and environment control system in airtight hydroponics for analyses of respiration and water uptake in the intact root of a plant.

システムの模式図を示す。培養液を満したステンレスポット(1ℓ)内に1個体の植物を植栽し、さらにセンサを設置してゴム栓およびシリコングリスで根部環境と地上部環境とのガス交換を遮断した。ポット内の圧力は、後述の吸水速度計測用ポトメータの自由水面(流動パラフィン層によりガス交換を遮断)を介して大気圧レベルに維持した。また、根部環境(培養液温度、溶存O₂濃度、溶存CO₂濃度等)の空間分布を小さくするために、培養液をスターラで攪拌した。このポットをウォータバス(36ℓ)内に設置し、ウォータバス内の温度を水温制御装置(CL-300, 大洋科学工業)で制御することによって培養液温度を制御した。また、ウォータバス上面を発泡スチロールで十分断熱することにより地上部気温や放射の変動にともなう外乱を防いだ。本システムでは、地上部環境を気温25°C、光強度(photosynthetic photon flux density, PPF_D) 200 μmol m⁻²s⁻¹とした条件下で、5~40°Cの範囲において±0.3°Cの精度で培養液温度の定値制御が可能であった。本研究では、培養液

温度と根温とは平衡しているものとして，培養液温度を根温とみなした。

この気密水耕装置を人工照明グロースキャビネット (Matsui *et al.*, 1971) 内に設置し，地上部環境 (気温，湿度および光条件) を制御した。Fig. 2 に，その外観写真を示す。このグロースキャビネットにおいては，気温制御範囲 $-5\sim 40^{\circ}\text{C}$ ，精度 $\pm 0.5^{\circ}\text{C}$ および湿度制御範囲 $40\sim 80\%RH$ ，精度 $\pm 3\%RH$ を満足する。また，白色蛍光灯 (FLR110EH-W/A, 東芝ライテック) を光源として，光強度および日長を設定することが可能である。

2 - 2 ポーラログラフ方式 O_2 センサによる根の O_2 吸収の計測

根の呼吸に伴う O_2 吸収速度を，気密にした培養液の溶存 O_2 濃度の変化から求めた。センサとしてはポーラログラフ方式 O_2 センサ (UD-1, セントラル科学) を用い，溶存 O_2 濃度 ($[\text{O}_2]$) をオンラインで計測した。Fig. 3 に，センサの写真 (a) および

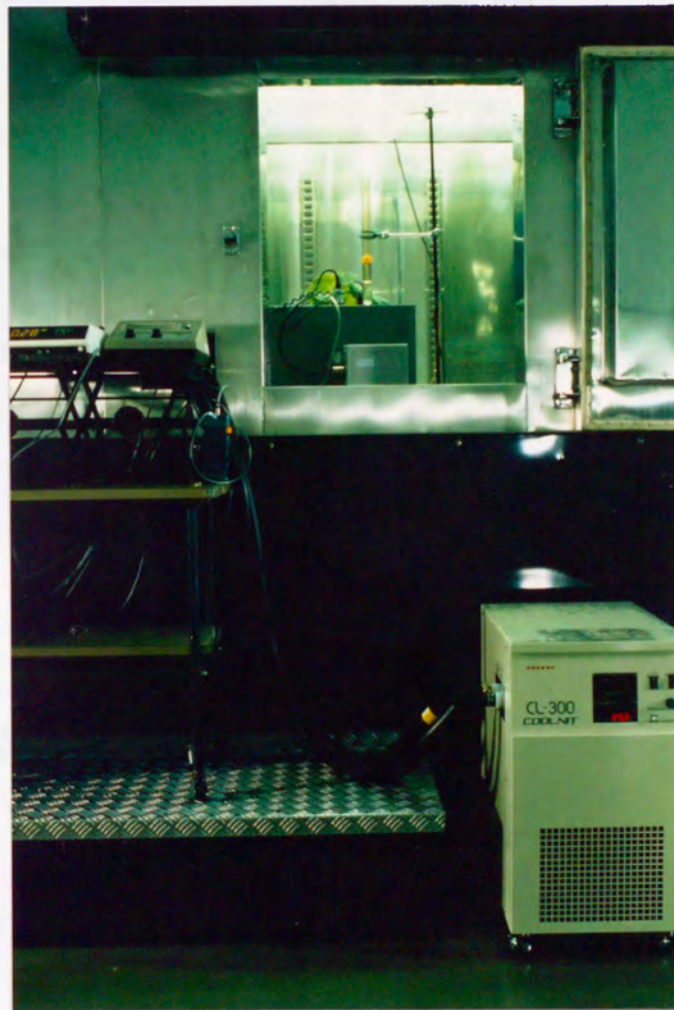


Figure 2. Photograph of the airtight hydroponics installed in a growth cabinet.

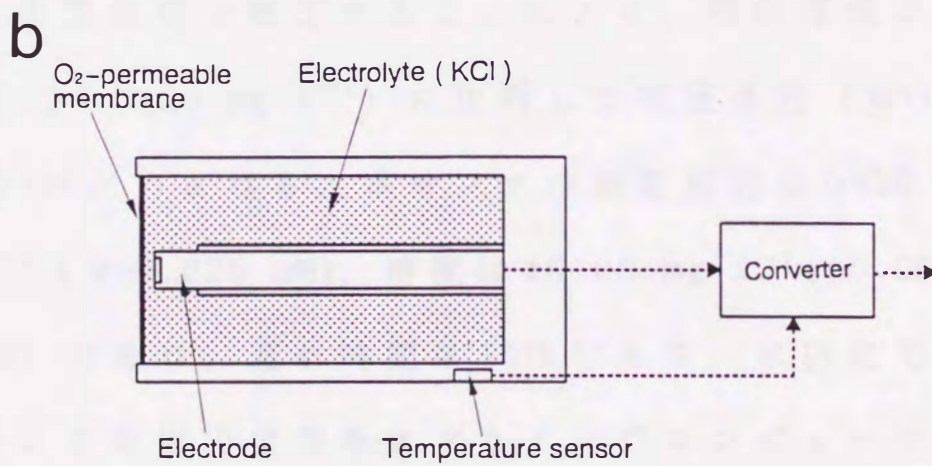
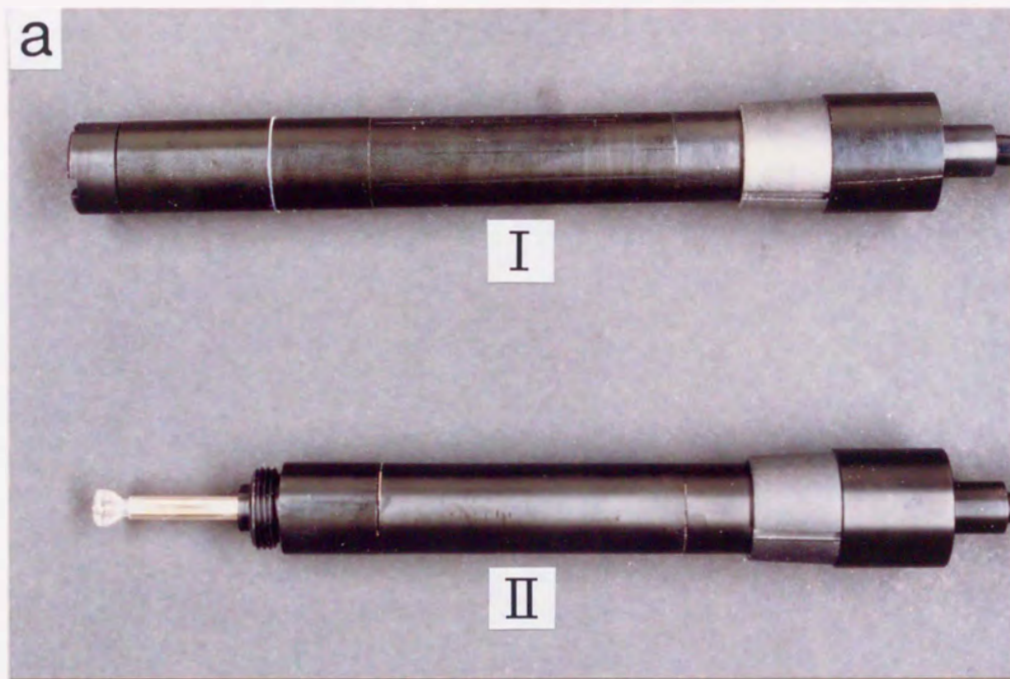


Figure 3. Polarographic O₂ sensor. a, photograph of the probe equipped with the O₂-permeable membrane (I) and the electrode in the probe (II); b, schematic diagram of the polarographic O₂ sensor.

模式図 (b) を示す。ポーラログラフ方式 O_2 センサは隔膜、電解液 (KCl)、電極 (白金・銀) および温度センサで構成されている。隔膜は撥水性テフロンの多孔質膜で、その孔隙内部に空気が保持され、根部環境の培養液とセンサの電解液とは接していない。したがって、この孔隙をとおして O_2 ガス分子は拡散により透過するが、水および電解質は透過しない。隔膜を透過して電解液中に拡散した O_2 は電極表面において電解される。この時の電解電流を検出し、さらに温度の影響を温度センサからの出力信号で補正することにより、根部環境の $[O_2]$ ($0 \sim 20 \text{ mg l}^{-1}$) に比例した電圧信号 ($0 \sim 10 \text{ mV}$) が出力される。本センサの測定範囲は $0 \sim 20 \text{ mg l}^{-1}$ ($0 \sim 0.625 \text{ mM}$)、精度は $\pm 0.03 \text{ mg l}^{-1}$ ($\pm 0.009 \text{ mM}$) であり、遅れ時間は 10 秒である。本研究では、センサの出力信号をオンラインでコンピュータへ入力し、 $[O_2]$ の経時的な変化量を基に、根の単位乾物重あたりの O_2 吸収速度 (R_o) を次式で算出した。

$$R_o = \frac{[O_2]_t - [O_2]_{t+\Delta t}}{\Delta t} \cdot V \cdot \frac{1}{W} \quad (1)$$

ここで、 $[O_2]_t$ および $[O_2]_{t+\Delta t}$ は時間 t および $t+\Delta t$ ($\Delta t=30$ 分)における溶存 O_2 濃度(mM)、 V はポット内の培養液の体積(ℓ)、 W は根の乾物重(g)である。

Fig.4に、 R_o の計測例を示す。十分に通気した培養液を用いてキュウリ植物(3葉期)を植栽した場合、 $[O_2]$ は根の呼吸によって0.24 mM(初期値)から急速に減少し、18時間後には0.003 mMとなった(Fig.4a)。 R_o は計測開始後4時間で最大値($0.05 \mu\text{mol g}^{-1}\text{s}^{-1}$)に達し、その後減少して18時間後にほぼ $0 \mu\text{mol g}^{-1}\text{s}^{-1}$ となった(Fig.4b)。このように、このセンサを用いて植物の根の O_2 吸収速度を十分な精度と応答性で計測することが可能となった。

2-3 ポテンシオメトリ CO_2 センサによる根の CO_2 放出の計測

根の呼吸に伴う CO_2 放出速度を、気密にした根部環境の溶存 CO_2 濃度の変化から求めた。根の呼

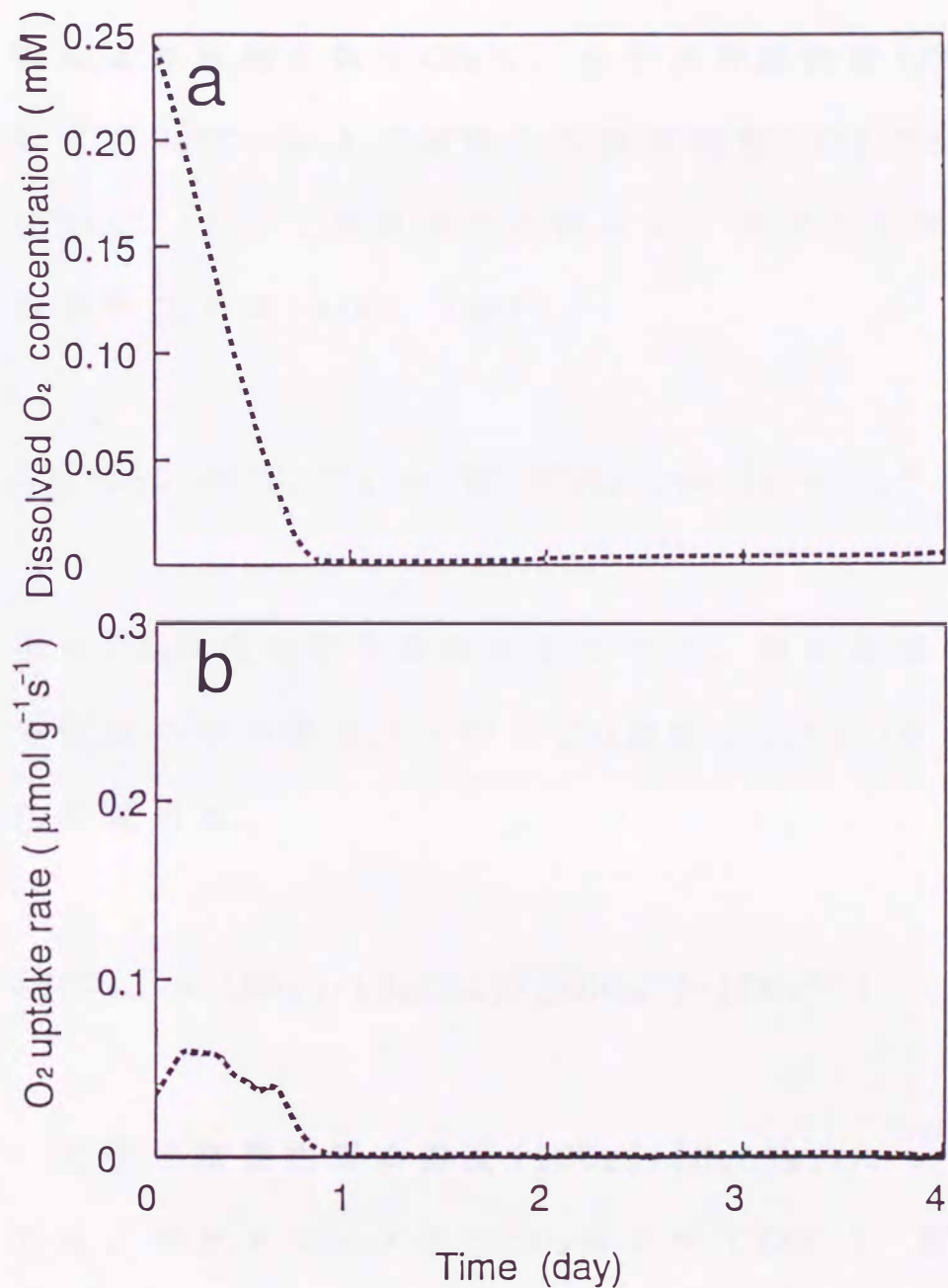
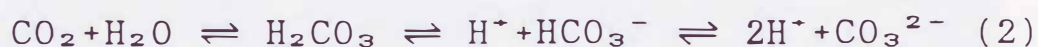


Figure 4. Time course patterns of dissolved O₂ concentration (a) in airtight hydroponics and O₂ uptake rate (b) per root dry weight in the intact root of a plant under the environmental condition of a *PPFD* of 200 $\mu\text{mol m}^{-2} \text{s}^{-1}$, an air temperature of 25°C, a relative humidity of 40%RH and a root temperature of 25°C.

吸により放出された CO_2 は，分子状炭酸物質 (CO_2 および H_2CO_3) および解離した炭酸物質 (HCO_3^- および CO_3^{2-}) として培養液中に存在し，次式の化学平衡が成立する (Bown, 1985).



根の CO_2 放出速度を算出するために，根部環境の全炭酸のモル濃度から溶存 CO_2 濃度 ($[\Sigma\text{CO}_2]$) を次式で求めた。

$$[\Sigma\text{CO}_2] = [\text{CO}_2] + [\text{H}_2\text{CO}_3] + [\text{HCO}_3^-] + [\text{CO}_3^{2-}] \quad (3)$$

分子状炭酸物質の濃度 ($[\text{CO}_2] + [\text{H}_2\text{CO}_3]$) については，ポテンシヨメトリ CO_2 センサ (CGP-1, 東亜電波工業) を用いてオンラインで計測した。Fig.5 に，そのセンサの写真 (a) および模式図 (b) を示す。ポテンシヨメトリ CO_2 センサは隔膜，内部液 (NaHCO_3)，pH センサおよび温度センサで構成されている。隔膜は前述の O_2 センサの場合と同様の撥

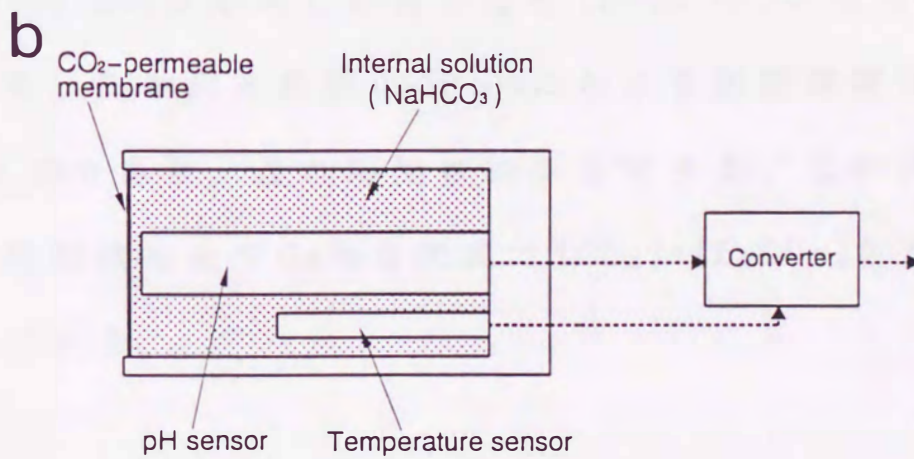
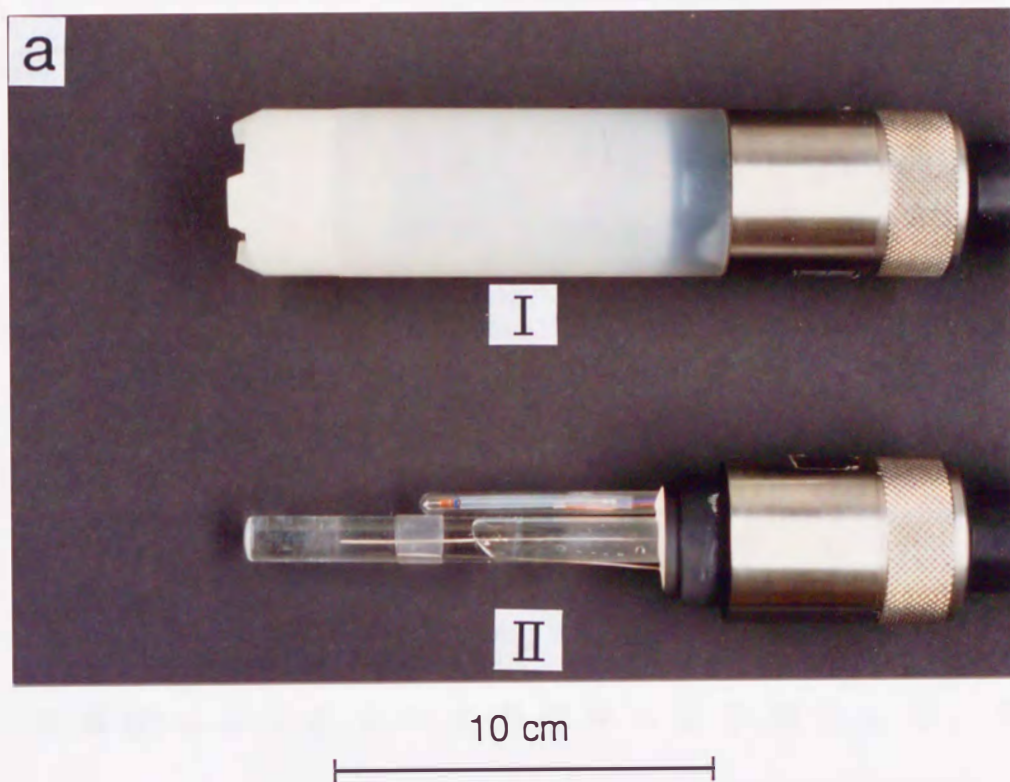


Figure 5. Potentiometric CO₂ sensor. a, photograph of the probe equipped with the CO₂-permeable membrane (I), and the pH sensor and the temperature sensor in the probe (II); b, schematic diagram of the potentiometric CO₂ sensor.

水性テフロン多孔質膜であり、空気が保持された孔隙をとおしてCO₂ガス分子は透過するが、水および電解質は透過しない。根部環境に溶解、水和している分子状炭酸物質(CO₂およびH₂CO₃)はガス化して(CO₂として)膜の孔隙を拡散し、再び内部液に溶解してpHを変化させる。この内部液のpHから分子状炭酸物質の濃度が、その飽和濃度(C_s; mM)に対する百分率(P_c; %)として得られる。すなわち、内部液のpHを検出し、さらに温度の影響を温度センサからの出力信号により補正して、P_c(0~20.0%)に比例した電圧信号(0~20 mV)が出力される。P_cの測定範囲0~20.0%における測定精度は±0.1%であり、遅れ時間は約2分である。このP_cの測定値およびC_sから次式で[CO₂]+[H₂CO₃]が算出できる。

$$[\text{CO}_2] + [\text{H}_2\text{CO}_3] = C_s \cdot \frac{P_c}{100} \quad (4)$$

一方、解離した炭酸物質のモル濃度 ([HCO₃⁻])

+ $[\text{CO}_3^{2-}]$)については根部環境の $[\text{CO}_2]+[\text{H}_2\text{CO}_3]$ およびpHを用いて次のHenderson-Hasselbach式により算出される (Bown, 1985).

$$\log[\text{HCO}_3^-] = \log([\text{CO}_2]+[\text{H}_2\text{CO}_3])+\text{pH}+\log K_1 \quad (5)$$

$$\log[\text{CO}_3^{2-}] = \log[\text{HCO}_3^-]+\text{pH}+\log K_2 \quad (6)$$

ここで, pH は根部環境のpH, K_1 および K_2 はそれぞれ HCO_3^- および CO_3^{2-} の解離定数で温度に依存する (Helder, 1988).

本計測システムにおいては, ポテンショメトリ CO_2 センサおよびpHセンサ (HM-7E, 東亜電波工業) の出力信号をオンラインでコンピュータへ入力し, 式(3,4,5,6)を用いて $[\Sigma\text{CO}_2]$ を求めた. 根部環境温度 25°C , pH 6.0の場合, 9.7 mMまでの $[\Sigma\text{CO}_2]$ を計測することができた. その経時的な変化量を基に, 根の単位乾物重あたりの CO_2 放出速度(R_c)を次式で算出した.

$$R_c = \frac{[\Sigma CO_2]_{t+\Delta t} - [\Sigma CO_2]_t}{\Delta t} \cdot \frac{V}{W} \quad (7)$$

ここで、 $[\Sigma CO_2]_t$ および $[\Sigma CO_2]_{t+\Delta t}$ は時間 t および $t+\Delta t$ ($\Delta t=30$ 分) における溶存 CO_2 濃度、 V はポット内の培養液の体積 (ℓ)、 W は根の乾物重 (g) である。

Fig. 6 に R_c の計測例を示す。十分に通気した培養液を用いてキュウリ植物 (3葉期) を植栽した場合、 $[\Sigma CO_2]$ は根の呼吸によって3日間で 0.02 mM から 3.4 mM に増加し、その後一定となった (Fig. 6a)。 R_c は計測開始後 18時間まではほぼ一定値 ($0.07 \mu\text{mol g}^{-1} \text{s}^{-1}$) に維持され、その後 $0.25 \mu\text{mol g}^{-1} \text{s}^{-1}$ まで増加し、約 60時間後に急減した (Fig. 6b)。このように、根の乾物重あたりの CO_2 放出速度から根の呼吸の評価が可能となった。

2 - 4 電気水位計-ポトメータによる根の吸水の計測

根の吸水速度の自動計測のために電気水位計-

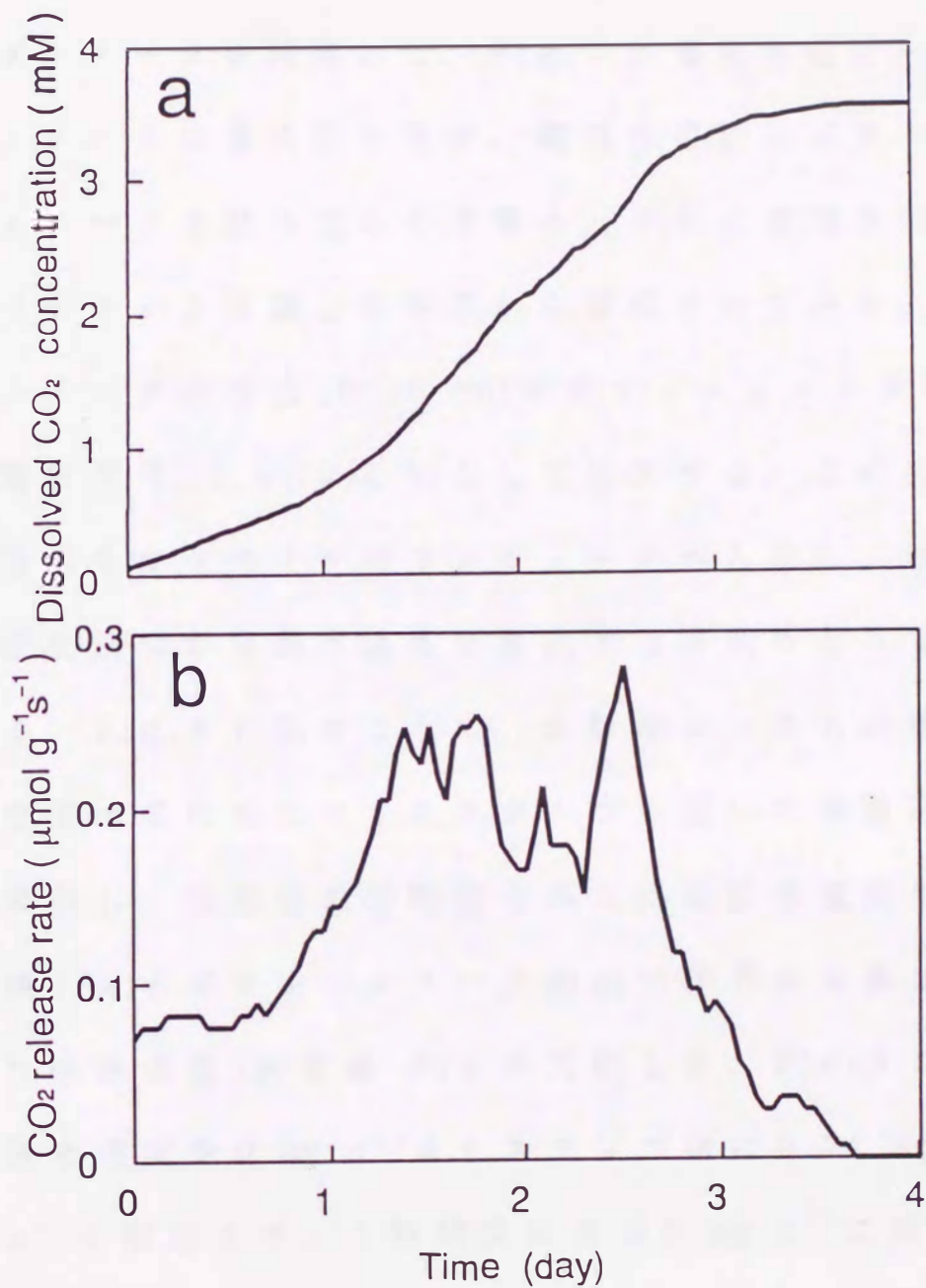


Figure 6. Time course patterns of dissolved CO₂ concentration (a) in airtight hydroponics and CO₂ release rate (b) per root dry weight in the intact root of a plant under the environmental condition of a *PPFD* of 200 $\mu\text{mol m}^{-2} \text{s}^{-1}$, an air temperature of 25°C, a relative humidity of 40%RH and a root temperature of 25°C.

ポトメータを開発した。Fig.7 に電気水位計-ポトメータの模式図を示す。電気水位計はポテンシヨメータを組み込んだ滑車と、それに連結されたポトメータ水面上の浮子から構成されており、ポトメータ内水位(0~20 cm)をポテンシヨメータの電圧信号(0.4~10.4 V)として出力する。この出力信号をオンラインでコンピュータへ入力し、水位変化速度から吸水速度を算出する方式をとっている。Fig.8 に示すように、本計測システムの精度を求めるためにペリスタポンプを用いて培養液を吸引し、吸水量の経時変化から得た吸水速度の真値(F_A)とポテンシヨメータの出力信号から算出した吸水速度(測定値 F)とを比較した。Fig.9 に、吸水速度を 0 mg s^{-1} よりステップ状に 0.74 mg s^{-1} に増加させ、1時間後に再び 0 mg s^{-1} に減少させた場合の動特性を示す。このステップ応答において、 F_A の増加および減少に対して F は11分で F_A の $\pm 5\%$ 内に整定し、その時の遅れ時間は約6分であった。さらに、吸水速度を種々の値に設定した場合の、 F_A と F (整定後1時間の平均値) とを

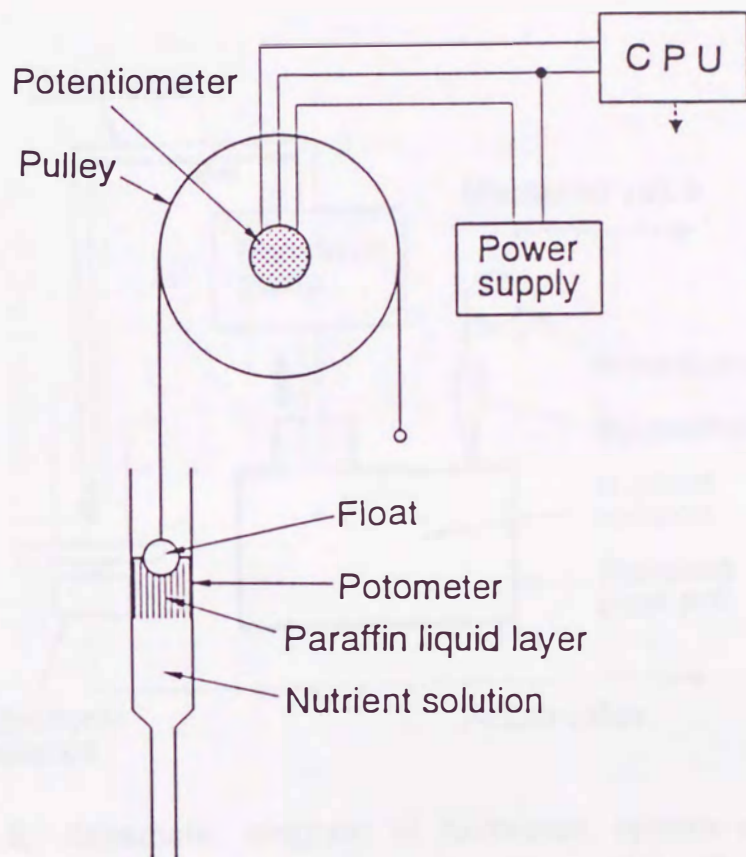


Figure 7. Schematic diagram of a potometer for on-line measurement of water uptake rate.

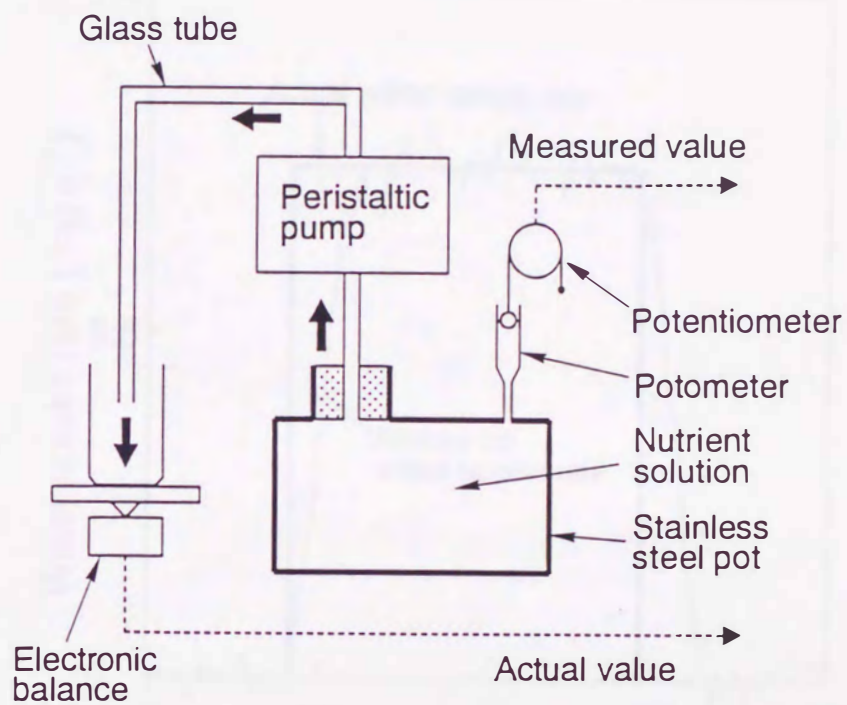


Figure 8. Schematic diagram of calibration system of water uptake rate measured by the on-line potometer. The actual water uptake rate was controlled by a peristaltic pump and monitored by a weighing method.

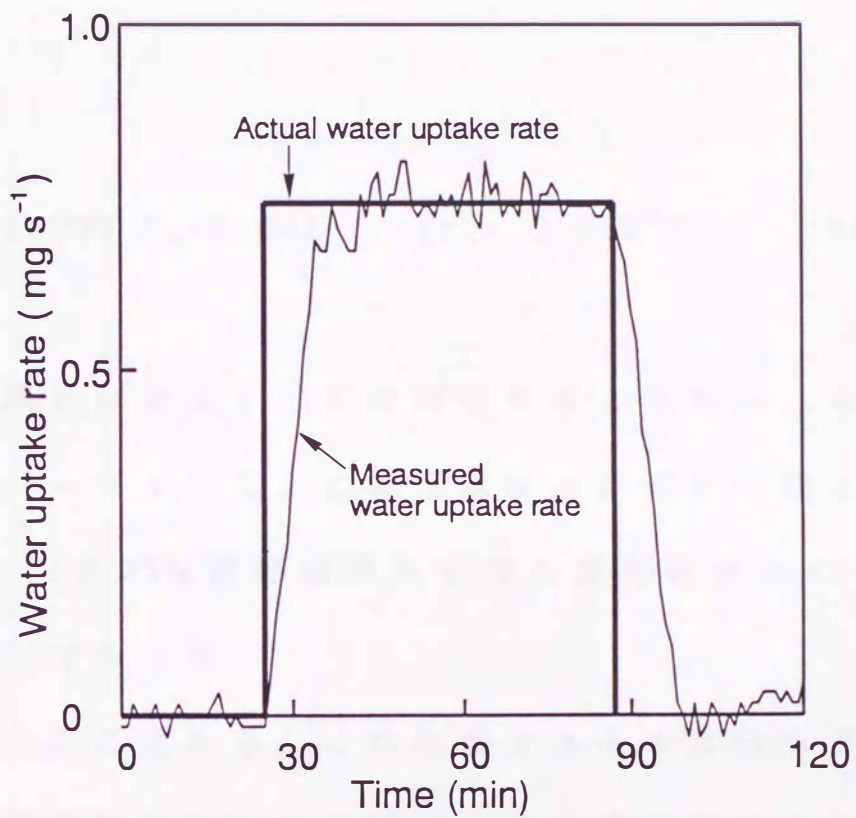


Figure 9. Step response of measured water uptake rate to actual water uptake rate.

比較した。この場合、 F_A の設定範囲は本研究に供したキュウリ植物(3葉期)の吸水速度の範囲(0~3 mg s^{-1})とした。Fig.10に、 F_A と F との関係を示す。 F_A と F との相関関係は次で示される(単位 mg s^{-1})。

$$F = 1.000 F_A - 0.001 \quad (r = 0.999^{**}) \quad (8)$$

この関係はほぼ1 : 1に対応することから、キャリブレーションなしに吸水速度の計測が可能となった。 F の95%信頼限界から得た測定精度は $\pm 0.15 \text{ mg s}^{-1}$ であった。

以上のことから、この計測システムは吸水速度の動態の解析に十分な精度と応答性を有することが明らかとなった。本研究では、計測終了後に根を採取して根の乾物重を計測し、単位乾物重あたりの吸水速度を算出した。また、ポトメータ内の水位変化(20cm以下)による根部環境の圧力変化は2 kPa以下と著しく小であり、根の吸水に対する影響については無視することができた。

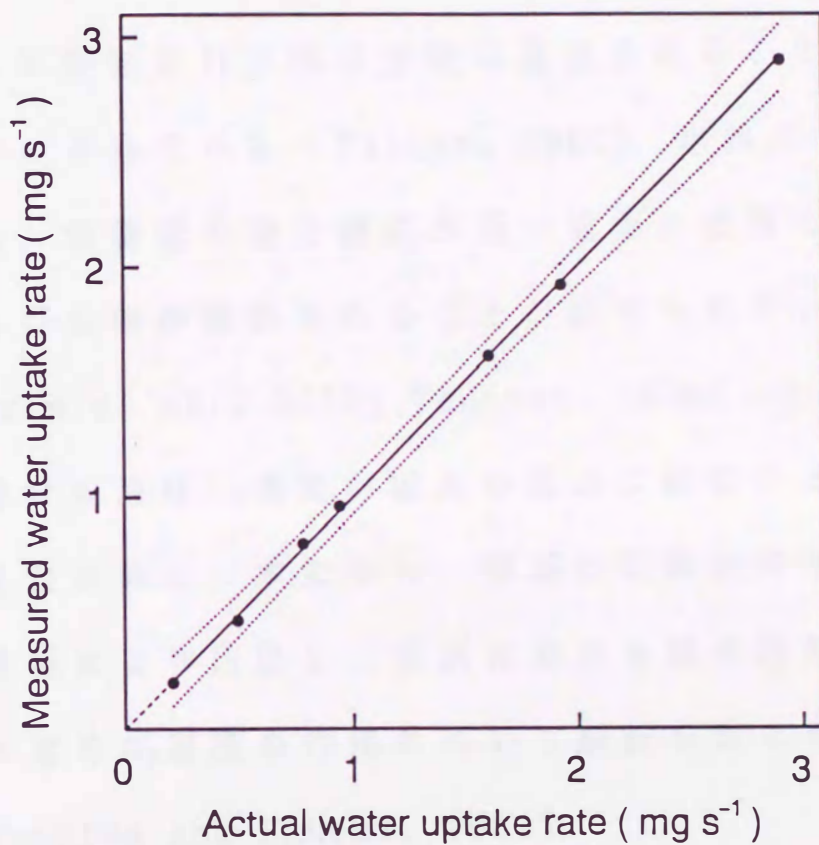


Figure 10. Relationship between actual water uptake rate and measured water uptake rate. The regression line (—) is shown with 95% confidence limits (.....).

第3章 水耕における根の形態

根の形態に対する根部環境の影響については多くの報告がある。土壤水分が低い条件では、根の伸長が抑制され、根の分岐は促進されることが明らかにされている (Fitter, 1986)。水耕においては、培養液の養分濃度が低い場合には根の伸長および分岐が抑制されることが認められている (Drew *et al.*, 1973; Tennant, 1976)。とくに、培養液の溶存 O_2 濃度が根系の発達に影響することが注目される。本章では、根系の形態的特徴を画像解析により抽出し、水耕における根の形態に対する溶存 O_2 濃度の作用について解析をおこなった (Yoshida and Eguchi, 1987)。

3-1 植物材料および生育条件

植物材料としてキュウリ (*Cucumis sativus* L.) 品種長日落合2号を用い、人工照明グロースキャビネット内で生育させた。キャビネット内の気温

を 23°C，相対湿度を 70%RH に制御し，光源としてメタルハライドランプ（DR400，東芝ライテック）を用いて $PPFD$ 250 $\mu\text{mol m}^{-2}\text{s}^{-1}$ および 12 時間日長で照射した．キュウリ種子をバーミキュライトに播種し，子葉展開後（播種後 7 日）に培養液を満たした水耕ポット（13 l）に移植した．培養液温度はキャビネット内の気温と平衡し，常に 23 ± 1 °C であった．培養液の組成は Mg^{2+} 0.9 mM， Ca^{2+} 2.1 mM， K^+ 3.8 mM， H_2PO_4^- 0.8 mM， NO_3^- 8.2 mM および NH_4^+ 0.8 mM とし，さらにキレート鉄および微量元素（Mn，B，Mo，Zn）を添加した．

培養液を高溶存 O_2 濃度に設定するためには，生育期間中連続的に，エアポンプを用いて培養液に通気した（流量，約 200 ml s^{-1} ）．一方，低溶存 O_2 濃度に設定するためには， N_2 ガスでバブリングして溶存 O_2 濃度を 0.03 mM とした培養液に植物を移植し，生育中は通気を行なわなかった．さらに，培養液面をポリエチレンフィルムで被覆して液面を通した培養液への O_2 の拡散を抑制した．Fig.11 に，生育中の溶存 O_2 濃度の変化を示す．高溶存 O_2

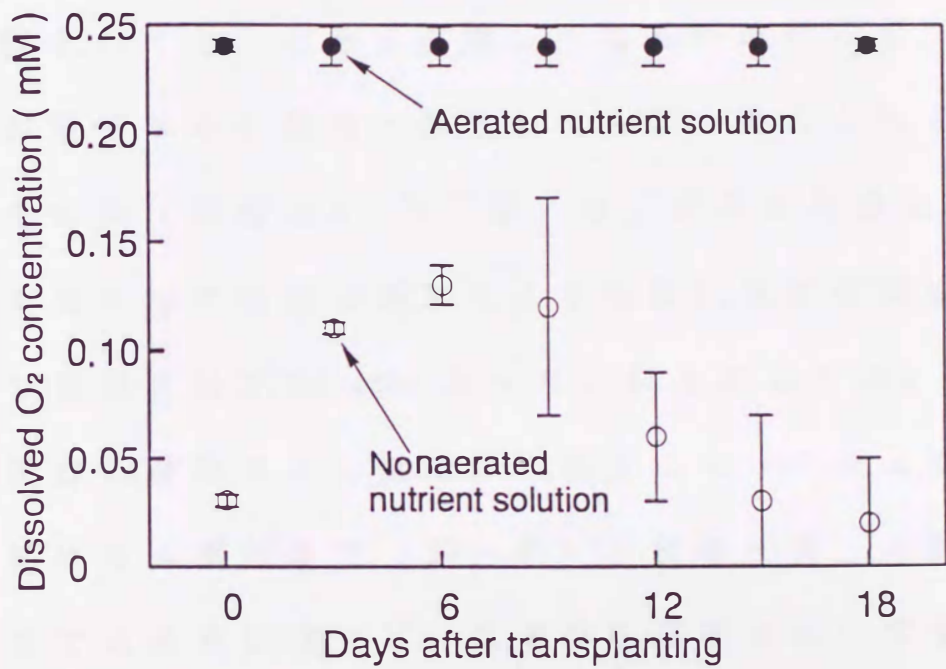


Figure 11. Dissolved O_2 concentrations in aerated and non-aerated nutrient solutions at an air temperature of 23°C and a relative humidity of 70%RH. The means of measured values in 3 plants are plotted with 95% confidence limits.

濃度の場合には，培養液温度 23°C における空気飽和に近い溶存 O_2 濃度 (0.24 mM) が維持された．低溶存 O_2 濃度の場合には，溶存 O_2 濃度は初期値 0.03 mM から一時的に 0.13 mM に増加した．その原因としては，液面を被覆したにもかかわらず， O_2 が空気から培養液へ拡散したものと考えられる．その後 (移植後 6 日目以降) は，根系の発達に伴う根の呼吸の増加により溶存 O_2 濃度は減少し，18 日目には 0.04 mM となった．以上のように，高溶存 O_2 濃度および低溶存 O_2 濃度においてキュウリ植物を 4 葉期まで (18 日間) 生育させた．4 葉期までの生育期間では，低溶存 O_2 濃度においても地上部の健全な生育が認められた．

3 - 2 根の形態の評価法

Fig.12 に，高溶存 O_2 濃度 (a) および低溶存 O_2 濃度 (b) における 4 葉期キュウリ植物の根系全体の写真を示す．ここで，主根を 1 次根，これから分岐した根を 2 次根とし，さらにその分岐根を分岐

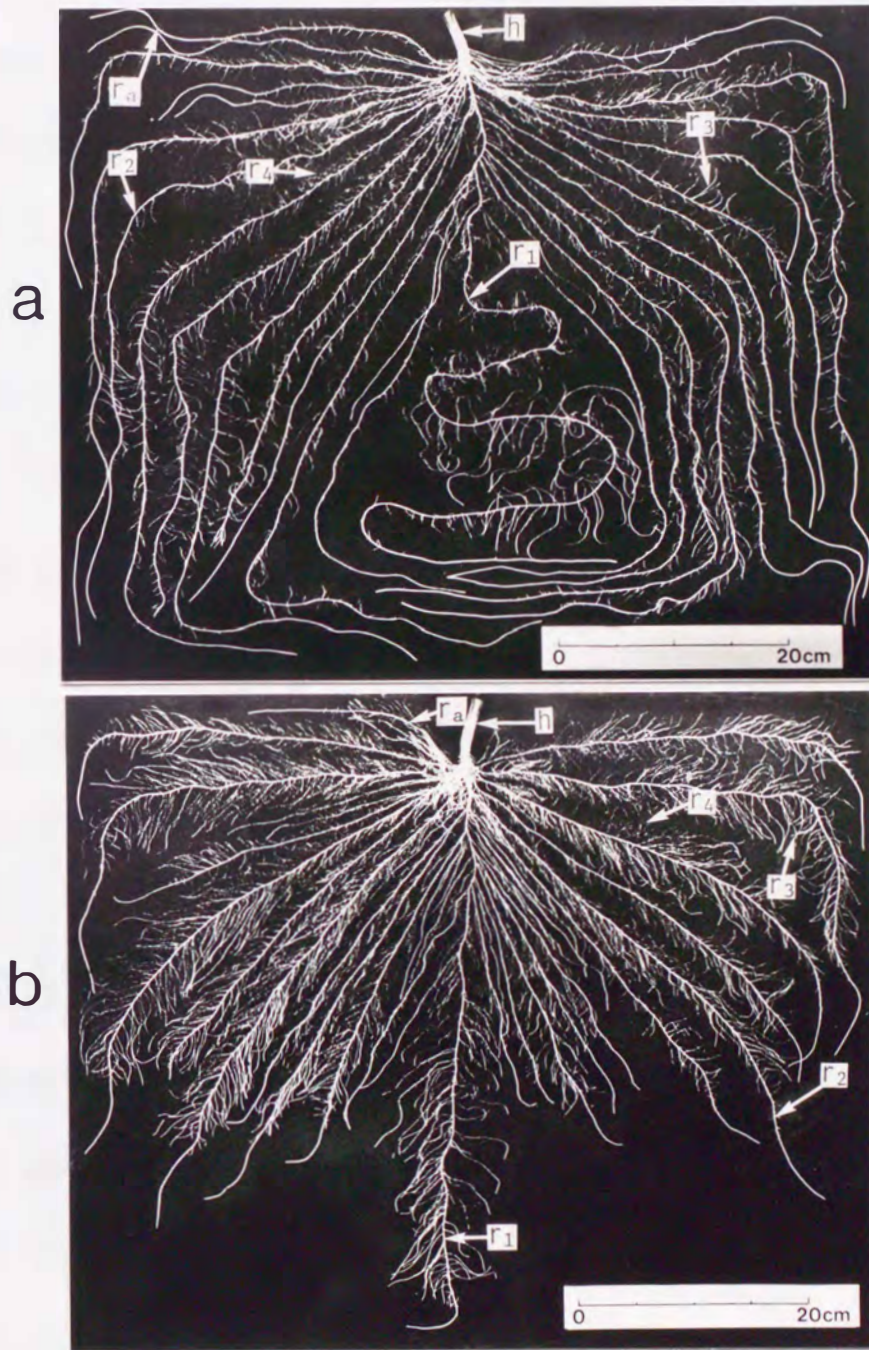


Figure 12. Photographs of root systems grown in higher (a) and lower (b) dissolved O_2 concentrations. r_1 , the 1st order root; r_2 , the 2nd order root; r_3 , the 3rd order root; r_4 , the 4th order root; r_a , adventitious root; h, hypocotyl.

の次数にしたがって n 次根とした場合，4葉期植物の根系では4次根までの分岐が認められた。高溶存 O_2 濃度および低溶存 O_2 濃度において，ともに約20本の2次根が発達して根系が形成されているが，高溶存 O_2 濃度と比較すると，低溶存 O_2 濃度では1次根および2次根の伸長の抑制と，3次根および4次根の著しい分岐がみられた。このような根系の形態を定量的に比較するために，2次根のなかで最も長い根を分岐根とともに採取して画像解析をおこなった。すなわち，Fig.13に示すように根をガラス板上に広げ，乾式複写機を用いて等倍の二次元画像を得た。デジタイザ（KD4030A，グラフテック）により，各分岐根の画像上の点の座標を基部から根端まで任意の間隔（2~20 mm）で読み取り，コンピュータに入力した。さらに，XYプロッタ（FD5311，グラフテック）を用いて，入力された点を順に直線で結ぶことにより各分岐根の線画像を得た。Fig.14に，XYプロッタにより出力された線画像を示す。入力された座標点間の距離を根の基部から根端まで加算して，各分岐

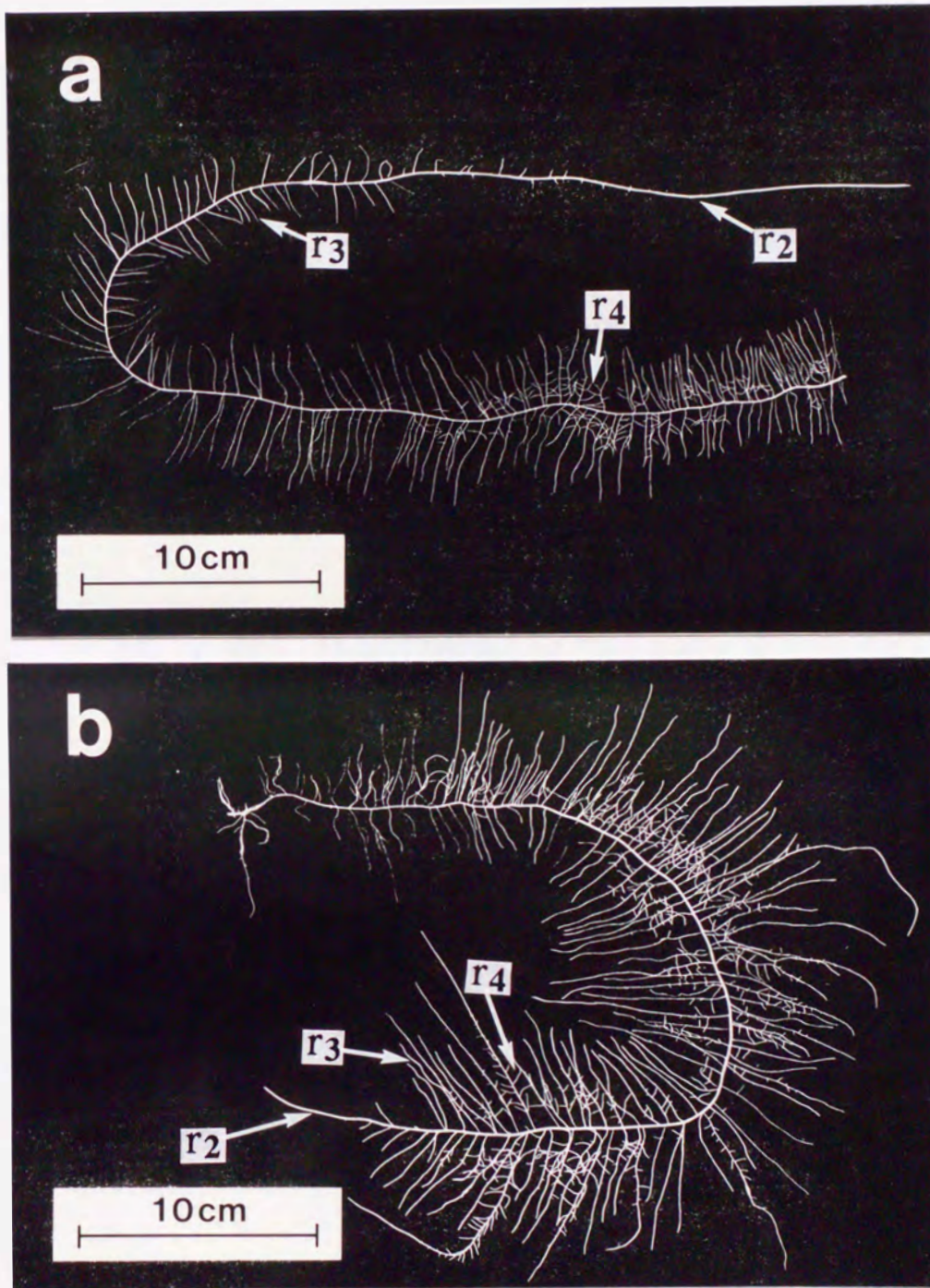


Figure 13. Photographs of the longest 2nd order root (r_2) with branching roots (r_3 and r_4) grown at higher (a) and lower (b) dissolved O_2 concentrations.

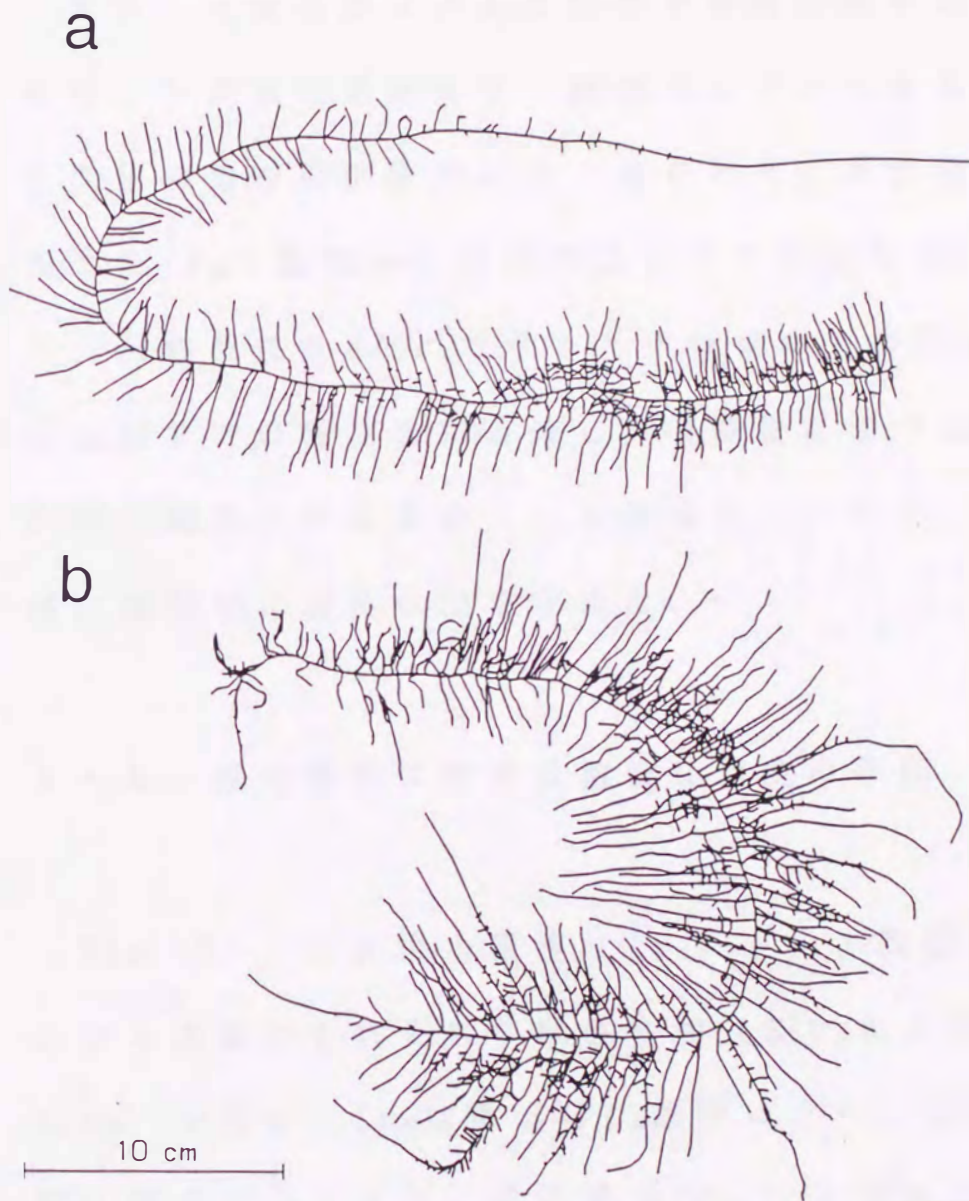


Figure 14. Displays of computed images of the longest 2nd order root with branching roots grown at higher (a) and lower (b) dissolved O_2 concentrations.

根の根長を求めた。

また，3次根および4次根の分布を評価するために，2次根の基部を0，根端を1としたときの3次根の分岐部位を求めた。すなわち，2次根の長さを Lr_2 ，基部から分岐部位までの距離を d として，分岐部位を d/Lr_2 で示した。つぎに，基部から根端までの部位を20等分し，各部位における3次根の根長の和を求めた。4次根についても，同様に部位別に根長の和を求めた。

3 - 3 根の形態に対する溶存 O_2 濃度の作用

Fig.15に，2次根の根長(Lr_2)と，3次根および4次根のそれぞれの根長の和(ΣLr_3 および ΣLr_4)を示す。 Lr_2 は高溶存 O_2 濃度に比べ，低溶存 O_2 濃度で小となり，その差は5%レベルで有意であった。一方， ΣLr_3 については，高溶存 O_2 濃度と低溶存 O_2 濃度との間に有意差(5%レベル)は認められなかったが， ΣLr_4 は高溶存 O_2 濃度に比べ，低溶存 O_2 濃度において著しく大となり，その差は1%

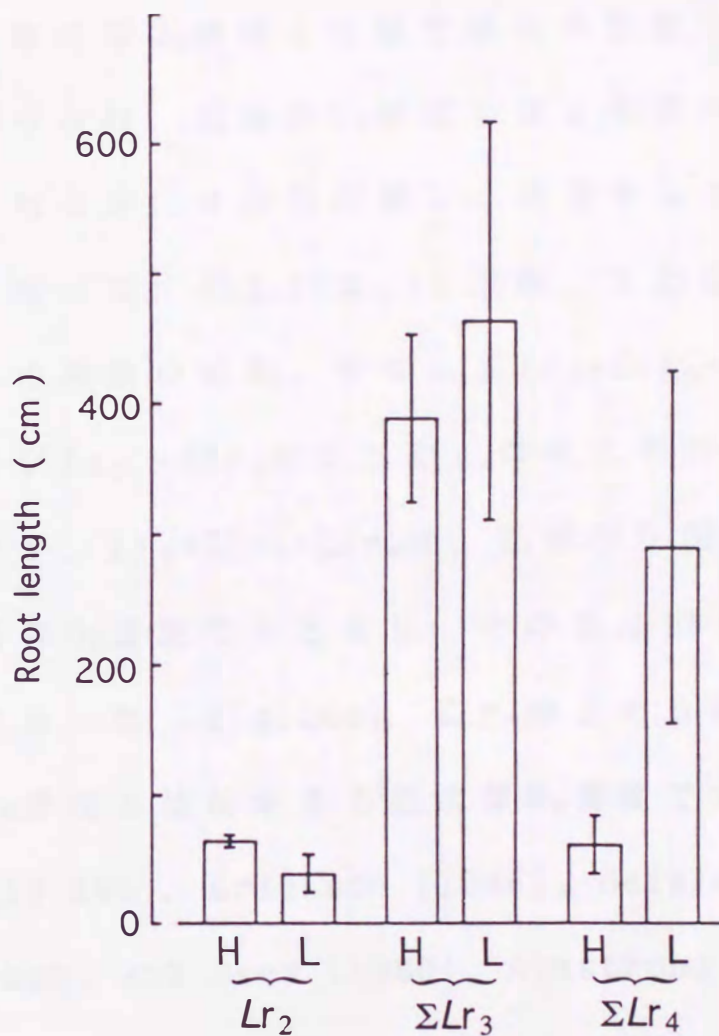


Figure 15. Length of the longest 2nd order root (r_2), total length of the 3rd order roots (r_3) and total length of the 4th order roots (r_4) grown at higher (H) and lower (L) dissolved O_2 concentrations. Lr_2 , length of r_2 ; ΣLr_3 , total length of r_3 ; ΣLr_4 , total length of r_4 . The means of measured values in 7 plants are plotted with 95% confidence limits.

レベルで有意であった。このように、高溶存 O_2 濃度と低溶存 O_2 濃度との間で根系の形態に顕著な差異がみられ、低溶存 O_2 濃度では 2 次根の伸長は抑制されるが、4 次根が著しく発達することが明らかとなった。Fig.16 に、2 次根、3 次根および 4 次根の根長の総和、すなわち $Lr_2 + \Sigma Lr_3 + \Sigma Lr_4$ (a) および Lr_2 、 ΣLr_3 および ΣLr_4 のそれぞれの割合 (b) を示す。 $Lr_2 + \Sigma Lr_3 + \Sigma Lr_4$ は、高溶存 O_2 濃度に比べ、低溶存 O_2 濃度で大となり、その差は 1% レベルで有意であった (Fig.16a)。 ΣLr_4 の占める割合は高溶存 O_2 濃度と比較すると低溶存 O_2 濃度で大となった (Fig.16b)。Erickson (1946), Geisler (1965), Trought and Drew (1980), Armstrong and Webb (1985), Wiedenroth and Erdmann (1985), Erdmann and Wiedenroth (1986) および Barrett-Lennard *et al.* (1988) は、培養液の低溶存 O_2 濃度条件下において根の伸長は抑制されるが、分岐根数は増加する傾向を認めている。このような根の形態に対する溶存 O_2 濃度の作用については数値的評価が困難であったが、本実験では根系の画像

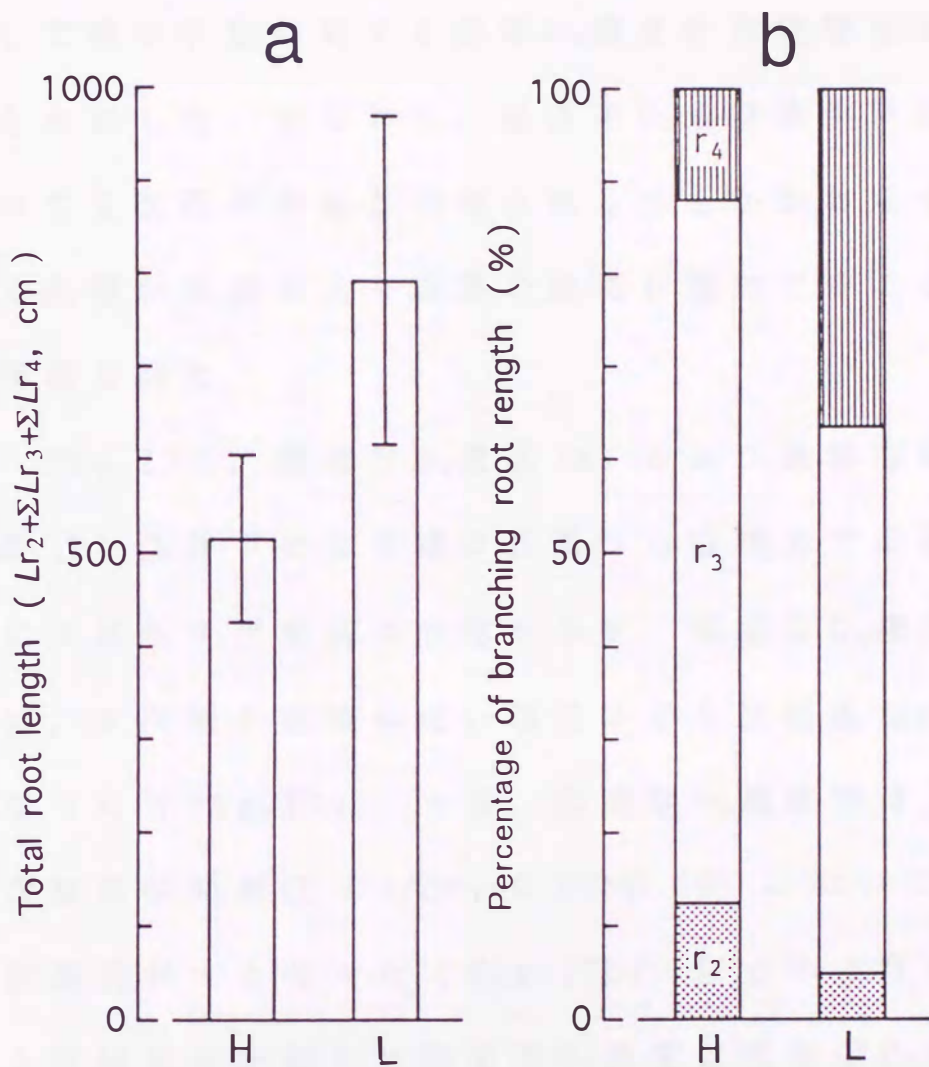


Figure 16. Total root length (a) and percentage (b) of the respective lengths of the longest 2nd order root (r_2), the 3rd order root (r_3) and the 4th order root (r_4) grown at higher (H) and lower (L) dissolved O₂ concentrations. $Lr_2 + \Sigma Lr_3 + \Sigma Lr_4$, total root length of r_2 , r_3 and r_4 . The means of measured total root length in 7 plants are plotted with 95% confidence limits.

解析により分岐根の長さおよび分岐部位を数値化して根の形態に対する溶存 O_2 濃度の作用特性を明らかにした。すなわち、低溶存 O_2 濃度条件下において2次根の伸長が抑制されるにもかかわらず、4次根の発達により根長の総和が増加することを明示し得た。

Fig.17に、高溶存 O_2 濃度(a)および低溶存 O_2 濃度(b)条件下の2次根の基部から根端までの部位における3次根長の分布を示す。高溶存 O_2 濃度では、2次根の根端に近い部位ほど3次根長が小となった(Fig.17a)。一方、低溶存 O_2 濃度では、2次根の中間部位($d/Lr_2=0.25\sim 0.50$)において3次根長が大となった(Fig.17b)。以上のように、3次根長の総和には高溶存 O_2 濃度と低溶存 O_2 濃度との間で明瞭な差はみられなかったが(Fig.15)、その分布については顕著な差異が認められた。

Fig.18に、高溶存 O_2 濃度(a)および低溶存 O_2 濃度(b)における4次根長の分布を示す。高溶存 O_2 濃度では、2次根の基部付近、すなわち $d/Lr_2=0\sim 0.4$ の部位にのみ4次根が分岐した(Fig.18a)。

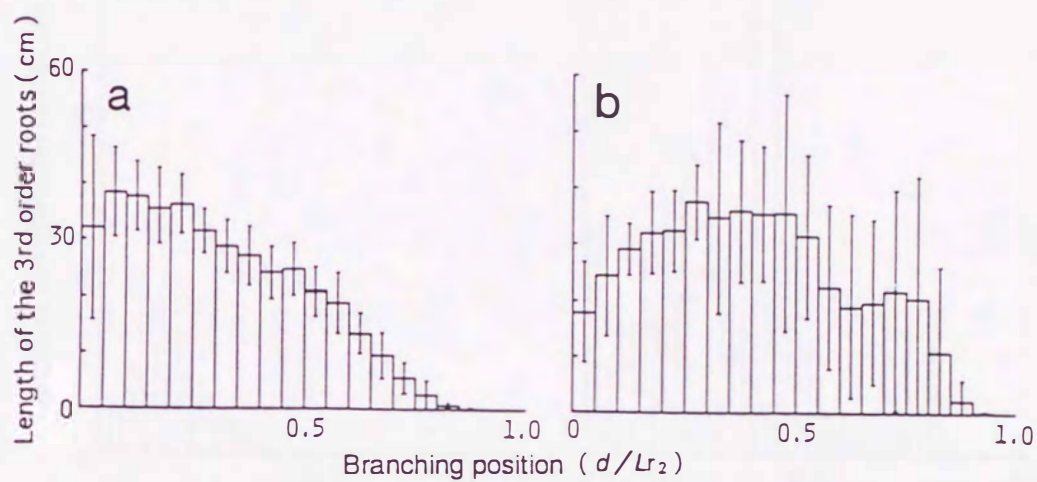


Figure 17. Distributions of lengths of the 3rd order roots (r_3) on the longest 2nd order root (r_2) grown at higher (a) and lower (b) dissolved O_2 concentrations. The means of total length of r_3 measured in 7 plants on respective 20 division of r_2 are plotted with 95% confidence limits. d , distance from the base of r_2 to branching position of r_3 ; L_2 , length of r_2 .

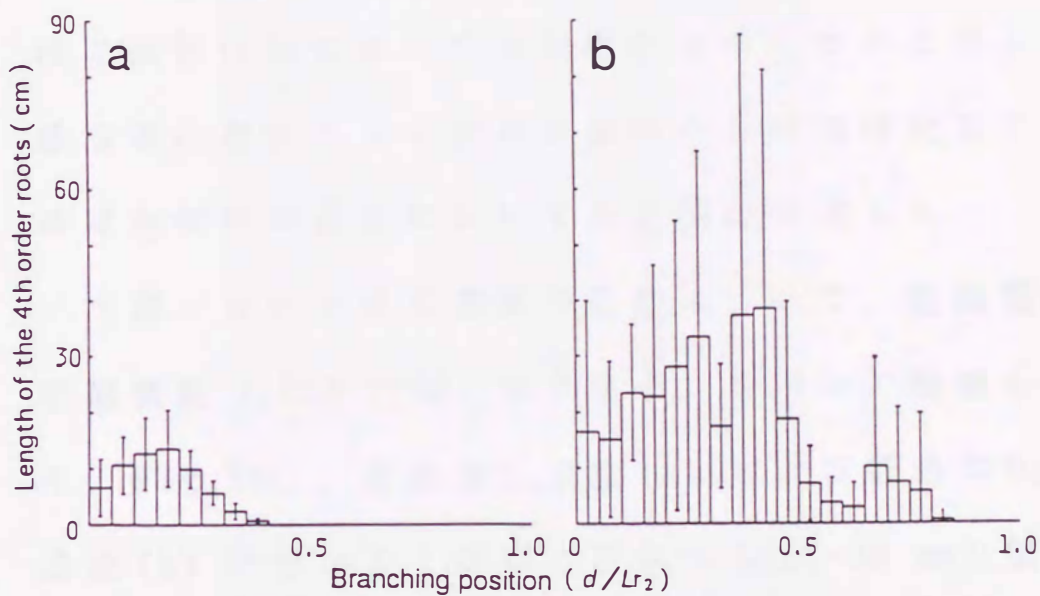


Figure 18. Distributions of lengths of the 4th order roots (r_4) on the longest 2nd order root (r_2) grown at higher (a) and lower (b) dissolved O_2 concentrations. The means of total length of r_4 measured in 7 plants on respective 20 division of r_2 are plotted with 95% confidence limits. d , distance from the base of r_2 to branching position of r_4 ; Lr_2 , length of r_2 .

一方，低溶存 O_2 濃度では，基部から根端付近までの部位（ $d/Lr_2=0\sim 0.85$ ）に4次根が分岐し，2次根の中間部位において4次根長が最大となった

（Fig.18b）. このように，高溶存 O_2 濃度では2次根の基部付近において分岐根が発達したのに対し，低溶存 O_2 濃度では2次根の基部から根端付近までほぼ全体的な部位において分岐根が発達した.

水耕における根の表皮の形態について，走査電子顕微鏡（JSM-T100，日本電子）を用いて観察した. Fig.19に，高溶存 O_2 濃度（a）および低溶存 O_2 濃度（b）における2次根の根端から15~30 cmの部位の表皮の走査電子顕微鏡写真を示す. 高溶存 O_2 濃度では2次根における根毛の発生はほとんど認められなかったが（Fig.19a），低溶存 O_2 濃度では根端から約15 cmの部位に根毛が高密度で発生し，表皮には縦方向の亀裂が認められた（Fig.19b）.

以上のように，水耕においては，4葉期キュウリ植物の根の形態が溶存 O_2 濃度に著しく影響された. Drew and Saker（1975）は分岐根の発達により根の養分吸収が増加することを明らかにしてい

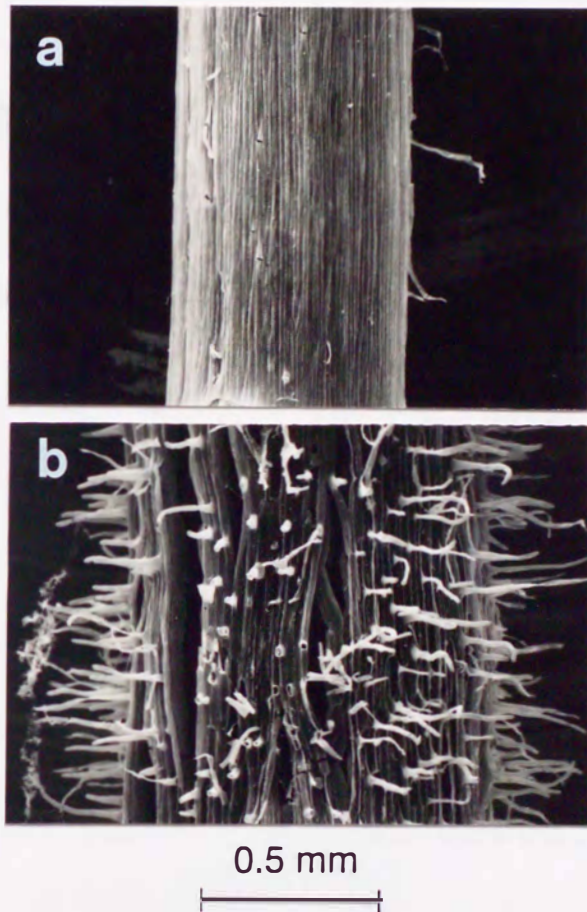


Figure 19. Scanning electron micrographs of epidermal structure of the roots grown at higher (a) and lower (b) dissolved O₂ concentrations, where the samples were prepared from the zone 15-30 cm from the root tip in the 2nd order root.

る。また、Drew and Nye (1969) は根毛の発生により養分吸収が増加することから、根の形態が根の生理的機能と密接に関連することを明らかにしている。このように、低溶存 O_2 濃度条件下において分岐根の発達により根長の総和が増加することは、根の表面積を増大させ、根の十分な生理的機能を維持するために順応した結果と考えられる。

第4章 根の呼吸および吸水に対する根温の作用

植物に対する根温の作用としては、根温の低下による吸水の減少によって地上部に水欠乏状態が生じ、葉の萎凋、水ポテンシャルの低下、気孔抵抗の増加、および光合成速度の減少が起こることが報告されている (Kramer, 1942; Tew *et al.*, 1963; Babalola *et al.*, 1968; Running and Reid, 1980; Syvertsen, 1981; McWilliam *et al.*, 1982; Markhart, 1984; Fennell *et al.*, 1990). このような根の生理的活性に対する根温の作用をさらに明らかにするために、本章では、根の基本的な機能である呼吸、吸水および通水抵抗に対する根温の作用を解析した (Yoshida and Eguchi, 1989, 1990, 1991).

4-1 根の呼吸の温度依存性

ここでは、植物個体における根の呼吸に対する根温の作用を解析した。植物材料には、気温 23°C

および相対湿度 70%RHの人工照明グロースキャビネット（メタルハライドランプ， $PPFD$ $250 \mu\text{mol m}^{-2}\text{s}^{-1}$ ，12時間日長）内で水耕により生育させた3葉期キュウリ植物を用いた．根の呼吸の評価にあたり，前述（第2章）のように，気密水耕装置においてポーラログラフ方式 O_2 センサおよびポテンシオメトリ CO_2 センサを用いて，根乾物 1 gあたりの O_2 吸収速度および CO_2 放出速度を同時に計測した．根温を 8，12，16，20，24，28および 32°C に制御し，地上部環境については気温 25°C ，相対湿度 40%RH，連続照明（白色蛍光灯， $PPFD$ $200 \mu\text{mol m}^{-2}\text{s}^{-1}$ ）とした．このような環境条件に18時間馴化させた植物を用いて4日間連続して計測をおこなった．Fig.20に，根温 8，12，16，20，24，28および 32°C における根部環境の溶存 O_2 濃度の経時的変化を示す．溶存 O_2 濃度は，根温 16°C 以上では1日以内に 0.02 mM まで減少したが， 12°C 以下における溶存 O_2 濃度の減少は著しく抑制された．溶存 O_2 濃度の変化における立上がり時間（初期値から最終値までの10~90%の濃度変化に要する

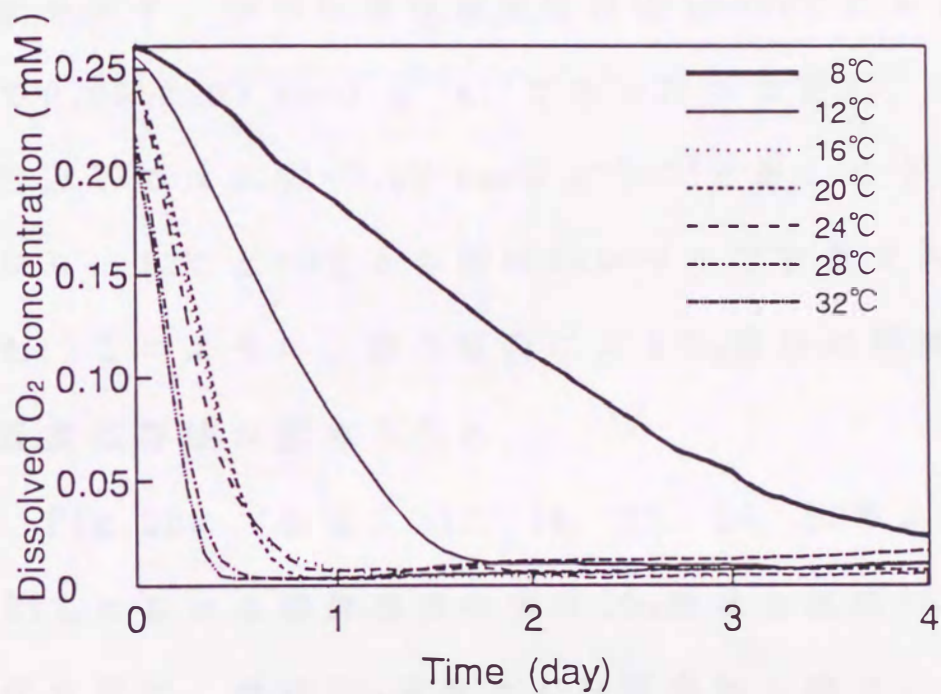


Figure 20. Time course patterns of dissolved O₂ concentration in airtight hydroponics at respective root temperatures of 8, 12, 16, 20, 24, 28 and 32°C, where the plant was lighted with a *PPFD* of 200 $\mu\text{mol m}^{-2} \text{s}^{-1}$ at an air temperature of 25°C and a relative humidity of 40%RH. The means of measured values in 4 plants are plotted.

時間) は 16°C 以上では 15 時間以下であったが, 8°C および 12°C ではそれぞれ 30 時間および 75 時間であった. Fig.21 に, 各根温における根の O_2 吸収速度を示す. 根の O_2 吸収速度は根温 16~32°C において $0.05\sim 0.09 \mu\text{mol g}^{-1}\text{s}^{-1}$ であったのに対し, 12°C 以下では $0.01\sim 0.02 \mu\text{mol g}^{-1}\text{s}^{-1}$ と著しく小となり, 12°C と 16°C との差は 5% レベルで有意であった. このように, 根の呼吸による O_2 吸収に明瞭な温度依存性が認められた.

Fig.22 に, 根温 8, 12, 16, 20, 24, 28 および 32°C における根部環境の溶存 CO_2 濃度の経時的変化を示す. 溶存 CO_2 濃度は 4 日間増加し続け, 根温 32°C においては 4.1 mM に達したが, 低い根温では溶存 CO_2 濃度の増加は著しく抑制された. Fig. 23 に, 各根温における根の CO_2 放出速度の 4 日間の平均値を示す. 根の CO_2 放出速度は根温 20~32°C において $0.09\sim 0.12 \mu\text{mol g}^{-1}\text{s}^{-1}$ であったのに対し, 16°C では約 1/2 となり, 16°C と 20°C との間の差は 5% レベルで有意であった. さらに, 12°C 以下では $0.01\sim 0.02 \mu\text{mol g}^{-1}\text{s}^{-1}$ と著しく小となり,

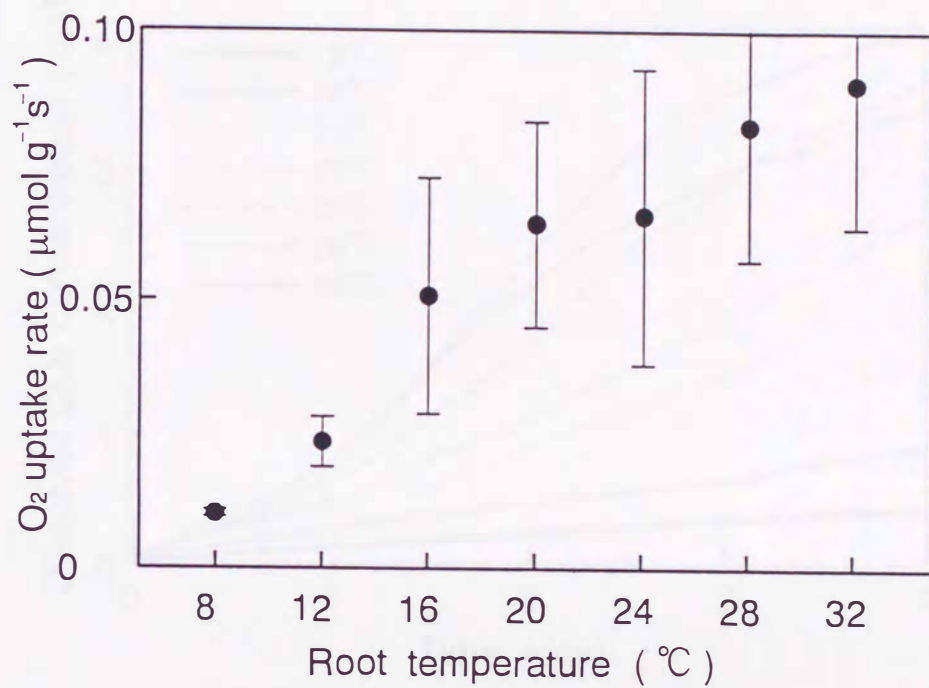


Figure 21. Distribution of O₂ uptake rates per root dry weight on root temperature in the intact root of a plant lighted with a *PPFD* of 200 µmol m⁻² s⁻¹ at an air temperature of 25°C and a relative humidity of 40%RH. The means of measured values in 4 plants are plotted with 95% confidence limits.

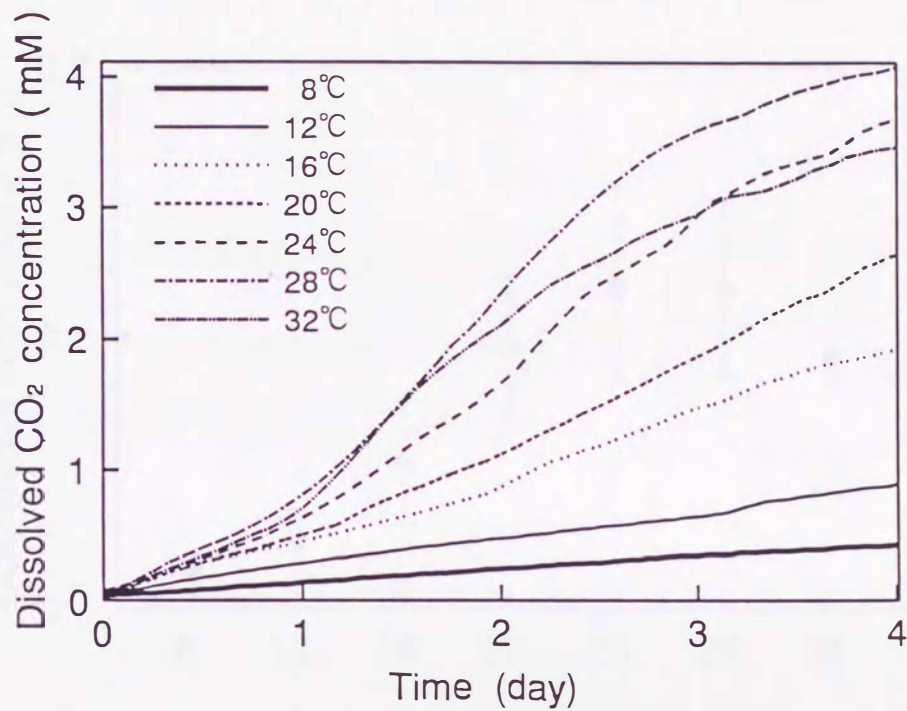


Figure 22. Time course patterns of dissolved CO₂ concentration in airtight hydroponics at respective root temperatures of 8, 12, 16, 20, 24, 28 and 32°C, where the plant was lighted with a *PPFD* of 200 $\mu\text{mol m}^{-2} \text{s}^{-1}$ at an air temperature of 25°C and a relative humidity of 40%RH. The means of measured values in 4 plants are plotted.

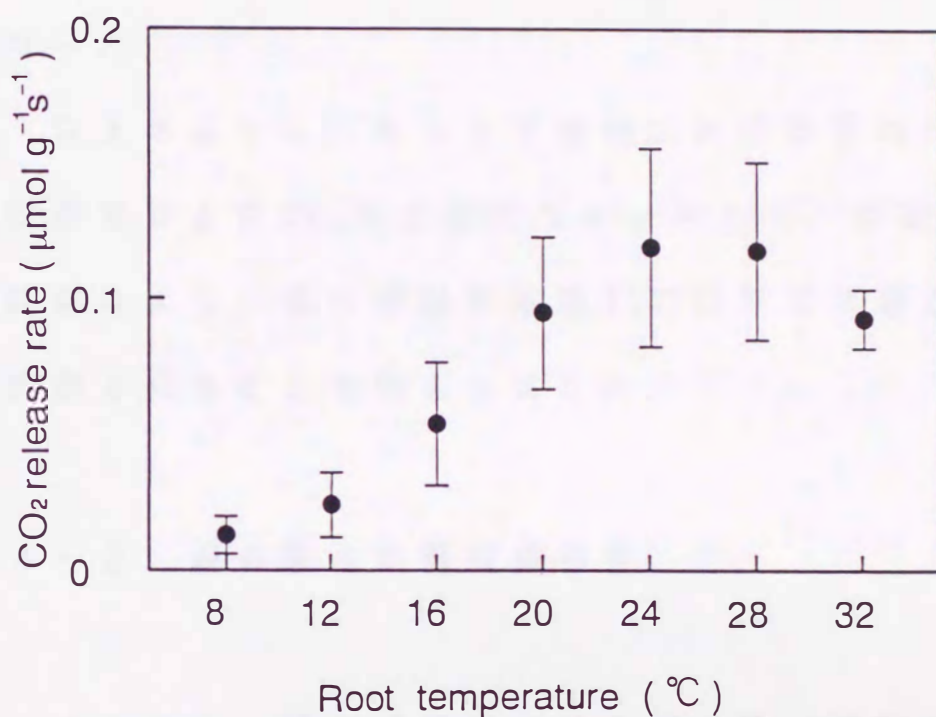


Figure 23. Distribution of CO₂ release rates per root dry weight on root temperature in the intact root of a plant lighted with a *PPFD* of 200 µmol m⁻² s⁻¹ at an air temperature of 25°C and a relative humidity of 40%RH. The means of measured values in 4 plants are plotted with 95% confidence limits.

12℃と16℃との間の差は5%レベルで有意であった。このように、根の呼吸によるCO₂放出にも明瞭な温度依存性が認められ、CO₂放出速度は12℃以下の根温において著しく抑制されることが明らかとなった。

以上のように、キュウリ植物における根のO₂吸収速度およびCO₂放出速度のオンライン、非破壊計測により、根の呼吸が根温12℃以下では著しく抑制されることを明らかにした。

4 - 2 根の吸水の温度依存性

ここでは、植物個体における根の吸水速度を異なる根温条件下で計測した。植物材料には、前述（第4章、1節）の呼吸の温度依存性の解析と同様に、気温23℃および相対湿度70%RHの人工照明グロースキャビネット（メタルハライドランプ、PPFD 250 $\mu\text{mol m}^{-2}\text{s}^{-1}$ 、12時間日長）内で水耕により生育させた3葉期キュウリ植物（品種長日落合2号）を用いた。この植物を前述（第2章）の

気密水耕装置に移植し，根温を 8, 12, 16, 20, 24, 28および 32°C に制御した．地上部環境は，葉の蒸散を促進させるために気温 25°C，相対湿度 40 %RH (飽差 13.8 g m^{-3})，連続照明 (白色蛍光灯，PPFD $200 \text{ } \mu\text{mol m}^{-2}\text{s}^{-1}$) とした．これらの環境条件に植物を 18時間馴化させた後，電気水位計-ポトメータを用いて個体あたりの吸水速度を 4日間連続して計測した．計測終了後，根の乾物重を測定して根乾物 1 g あたりの吸水速度を求めた．

Fig.24に，根温 8, 12, 16, 20, 24, 28および 32°C における根の吸水速度の 4日間の平均値を示す．根温 16~32°C における根の吸水速度は $4.0\sim 5.5 \text{ mg g}^{-1}\text{s}^{-1}$ であったのに対し，12°C 以下では約 1/2と著しく小となった．12°C 以下と 16°C との差は 1% レベルで有意であった．Eguchi and Koutaki (1986) は，キュウリ植物の葉の蒸散速度は根温 10°C 以下で著しく低下することを明らかにしており，このことは根の受動的吸水の制限によるものと考えられる．このように，本実験における根の吸水速度のオンライン，非破壊計測により，根温

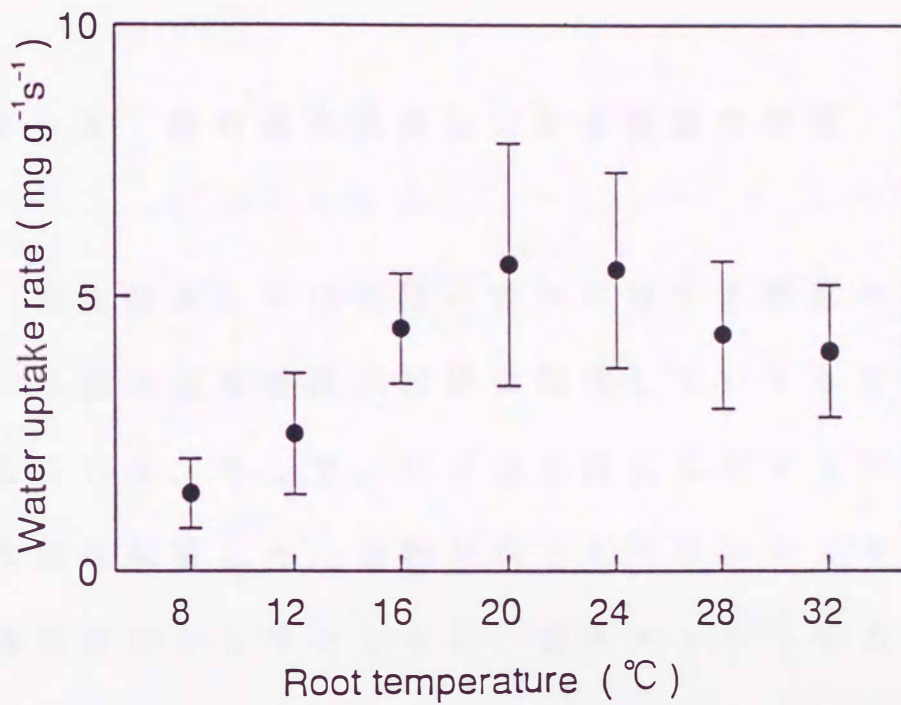


Figure 24. Distribution of water uptake rates per root dry weight on root temperature in the intact root of a plant lighted with a $PPFD$ of $200 \mu\text{mol m}^{-2} \text{s}^{-1}$ at an air temperature of 25°C and a relative humidity of $40\%RH$. The means of measured values in 4 plants are plotted with 95% confidence limits.

12°C以下では根の呼吸と同様に根の吸水も著しく抑制されることが明らかとなった。すなわち、根の呼吸および吸水には平行的な温度依存性が認められた。

4 - 3 根の通水抵抗に対する根温の作用

植物個体における根の吸水に対する根温の作用には根の通水抵抗が密接に関与しているものと考えられる。そこで、根の通水抵抗に対する根温の作用を解析した。植物材料としては、キュウリ品種長日落合2号とともに、接木キュウリの台木として用いられるクロダネカボチャ (*Cucurbita ficifolia* B.) を気温 23°C および相対湿度 70%RH のファイトロンガラス室内で水耕により生育させ、3葉期植物を用いた。

全根系の通水抵抗 (R) は根系の表面と基部との間に一定の水ポテンシャル差を与え、植物個体の根系における吸水速度 (F) の定常値を用いて次式で評価される (Parsons and Kramer, 1974; 長

野・石田, 1984; Koide, 1985).

$$R = \frac{\psi_1 - \psi_2}{F} \quad (9)$$

ここで, ψ_1 は根系の表面における水ポテンシャル, ψ_2 は根系基部における水ポテンシャルを示す. この式(9)に基づいてRを求める方法としては, 地上部を切除した根系(単離根系)を用いて, 圧チャンバ内で根系の表面に200~500 kPaの静水圧を与えて根系をとおして水を押し上げる方法(Fiscus, 1975, 1977; Markhart and Smit, 1990) および根系基部の切断面に50~80 kPaのサクシジョンを与えて根系をとおして水を吸引する方法(Andersen *et al.*, 1984; Everard and Drew, 1987, 1989)がある. 前者の方法では, 根が高い圧力に暴露されることにより根の吸水特性が変化することが指摘されている(Salim and Pitman, 1984ab; Nobel *et al.*, 1990). したがって本実験では, 後者の単離根系の基部にサクシジョンを与える方法により

R を求めた。Fig.25に、このときの水ポテンシャル場の模式図を示す。 ψ_1 は根系表面における圧ポテンシャル (ψ_{p1}) および培養液の浸透ポテンシャル ($\psi_{\pi1}$) で構成されており、また、 ψ_2 は根系基部における圧ポテンシャル (ψ_{p2}) および木部溢泌液の浸透ポテンシャル ($\psi_{\pi2}$) から構成されている。したがって、 R は次式で求められる。

$$R = \frac{(\psi_{p1} + \psi_{\pi1}) - (\psi_{p2} + \psi_{\pi2})}{F} = \frac{\Delta\psi_p + \Delta\psi_{\pi}}{F} \quad (10)$$

ここで、 $\Delta\psi_p$ は根系の表面と基部との間の圧ポテンシャル差、 $\Delta\psi_{\pi}$ は浸透ポテンシャル差である。 $\psi_{\pi1}$ および $\psi_{\pi2}$ については、培養液および木部溢泌液を採取し、サイクロメータ (HR-33T, Wescor Inc.) を用いて実測した (Campbell *et al.*, 1973)。キュウリ根系およびクロダネカボチャ根系とも、 $\psi_{\pi1}$ および $\psi_{\pi2}$ はそれぞれ -80 kPa および -100 kPa であり、 $\Delta\psi_{\pi}$ は 20 kPa であった。

Fig.26に、単離根系に一定のサクション ($\Delta\psi_p$)

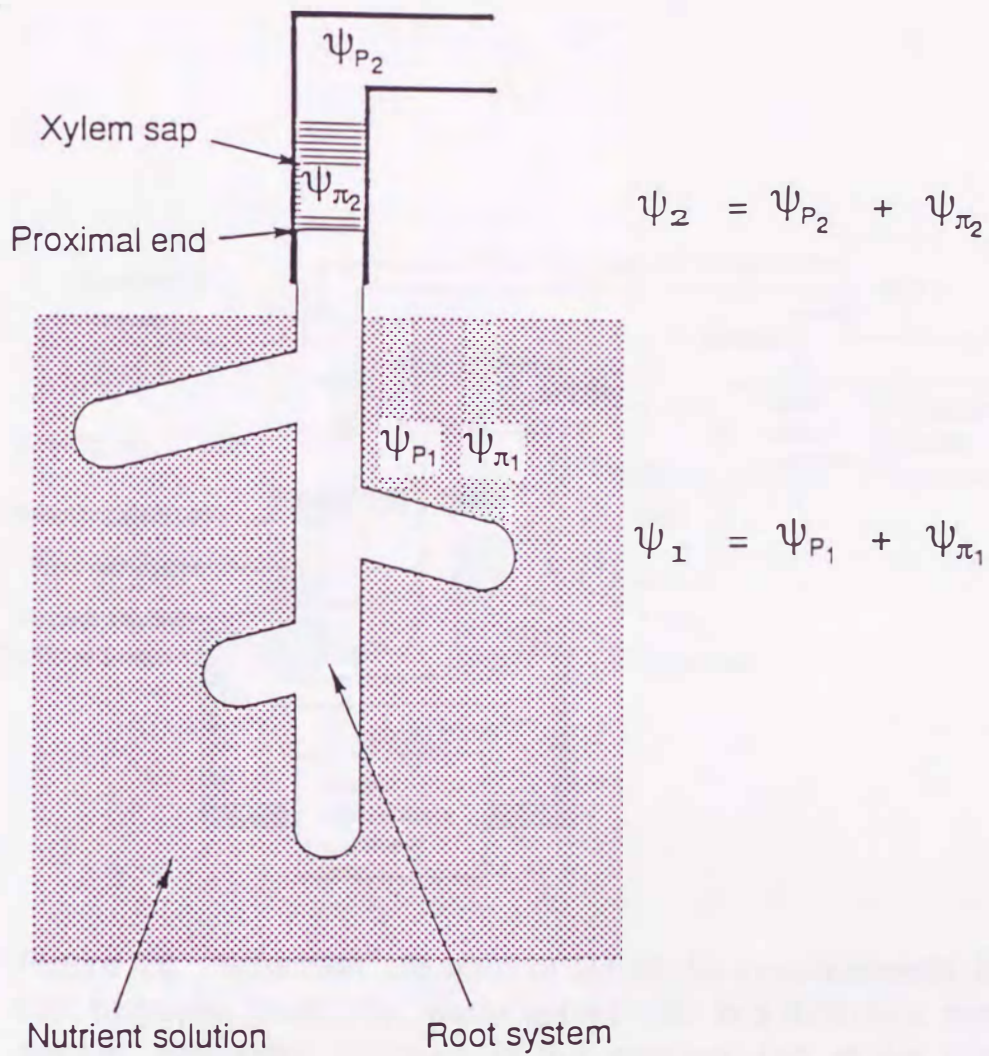


Figure 25. Schematic diagram of water potential field in a detached root system. ψ_{P_1} , pressure potential at root surface; ψ_{P_2} , pressure potential at root proximal end; ψ_{π_1} , osmotic potential of nutrient solution; ψ_{π_2} , osmotic potential of xylem sap.

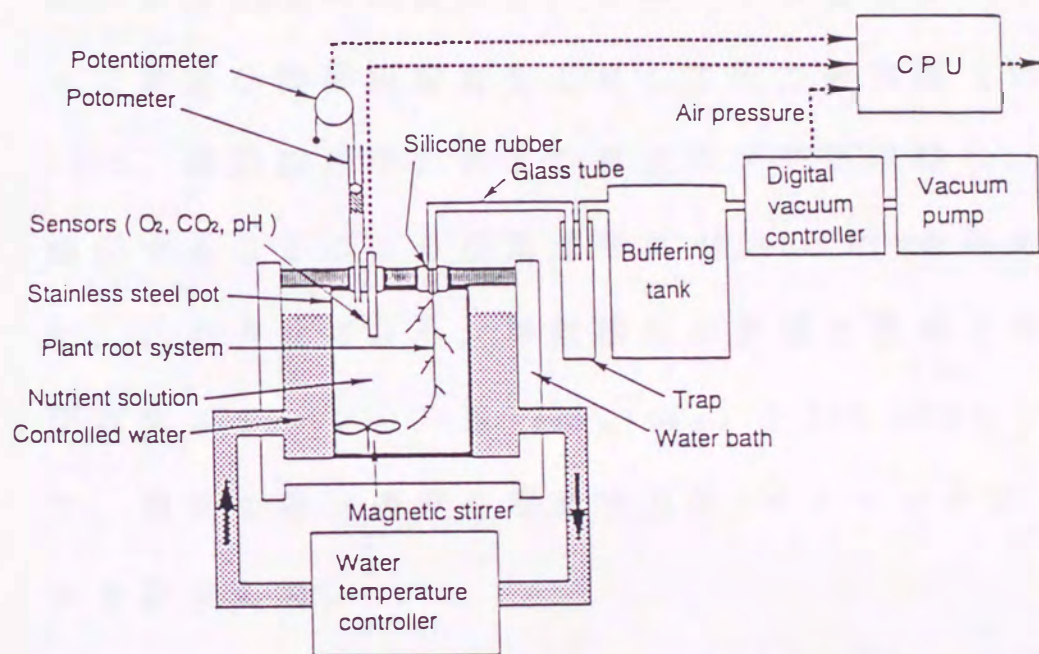


Figure 26. Schematic diagram of system for measurements of root hydraulic resistance, water uptake rate in a detached root system, hydrostatic pressure at the proximal end of the root system, dissolved O₂ concentration and dissolved CO₂ concentration in nutrient solution at controlled root temperatures in airtight hydroponics.

を与え、このときの根系の吸水速度 (F) を実測するためのシステムの模式図を示す。気密水耕装置において、単離根系の基部をガラス管に接続して水耕ポットに固定し、根温を 8, 12, 16, 20, 24, 28 および 32°C に制御した。このガラス管を水トラップおよび緩衝用容器をとおして圧力制御器 (VC-20S, 岡野製作所) および真空ポンプに連結し、減圧することにより根系基部に $\Delta\psi_p = 80$ kPa を与えた。この方法により、単離根系の表面と基部との間の水ポテンシャル差 ($\Delta\psi_p + \Delta\psi_r$) を 100 kPa とし、根系の吸水速度を電気水位計-ポトメータにより計測した。

Fig.27 に、キュウリ植物の単離根系を用いて根温を 24°C とした場合の溶存 O_2 濃度、溶存 CO_2 濃度 (a)、根系の吸水速度および根系基部に与えた気圧 (b) の経時的变化 (120 分間) の計測の一例を示す。溶存 O_2 濃度の減少および溶存 CO_2 濃度の増加がみられ (Fig.27a)、単離根系においても呼吸活性が維持されることが認められた。根系基部を減圧してサクションを与えることにより吸水速度

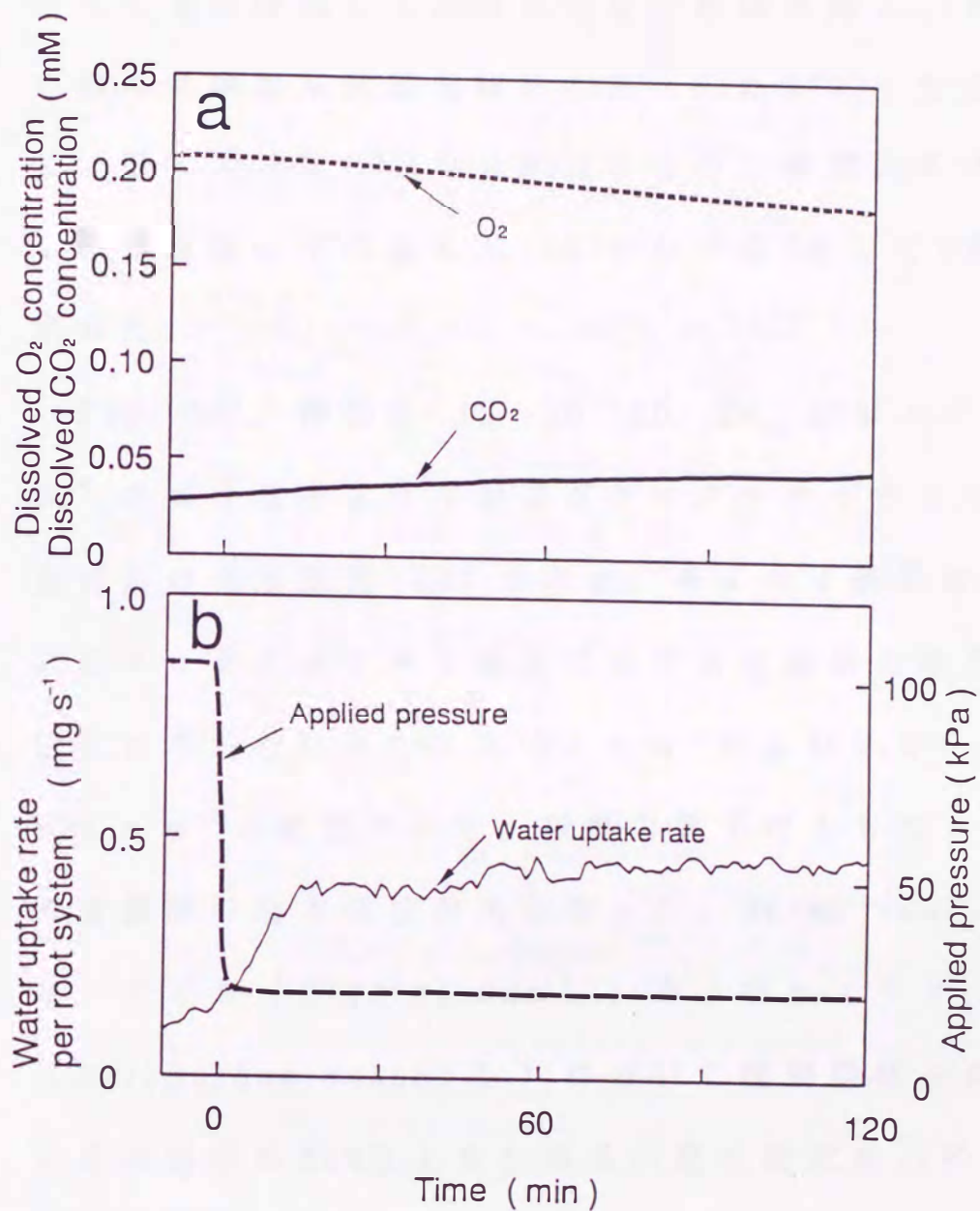


Figure 27. Environmental conditions and physiological aspect during the time of measurement of root hydraulic resistance in a detached root system. a, dissolved O₂ and CO₂ concentrations; b, water uptake rate per root system and hydrostatic pressure at the proximal end of the detached root system at a root temperature of 24°C.

がただちに増加して15分以内に一定値に達し，その後にはほぼ定常状態を維持した（Fig.27b）．そこで，減圧開始後30分から90分までの1時間における吸水速度の平均値を式（10）における F として R を求めた．

Fig.28に，根温8，12，16，20，24，28および32℃におけるキュウリおよびクロダネカボチャの全根系の通水抵抗（ R ）を示す．キュウリ根系およびクロダネカボチャ根系における全根系の通水抵抗はそれぞれ0.1~0.9 MPa s m⁻³および0.2~0.6 MPa s m⁻³の範囲であり，根温の低下にともなって全根系の通水抵抗が大となった．Boyer（1971）は，ダイズ（*Glycine max* L.）およびヒマワリ（*Helianthus annuus* L.）において植物個体全体の通水抵抗の50%以上を全根系の通水抵抗が占めることを明らかにしている．したがって，キュウリ植物個体における根の吸水速度の温度依存性（Fig.24）は，根温が全根系の通水抵抗に作用することに起因すると考えられる．

根の通水抵抗は根表面から中心柱の導管までの

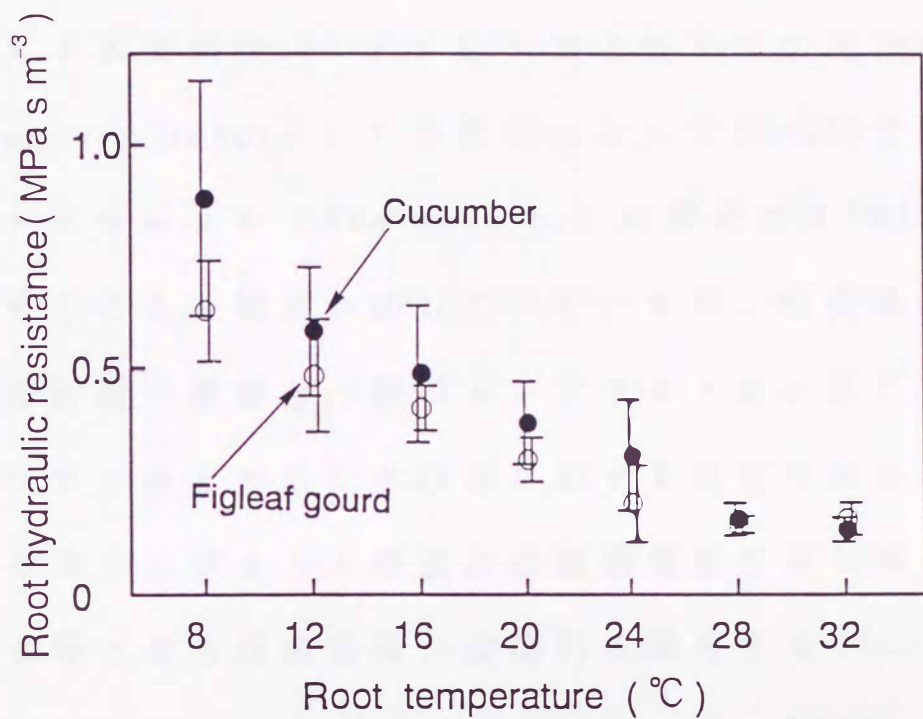


Figure 28. Distributions of root hydraulic resistances on root temperature in cucumber and figleaf gourd root systems at the water potential difference of 100 kPa. The means of measured values in 6 plants of respective species are plotted with 95% confidence limits.

経路における吸収抵抗および導管内における通導抵抗から構成される (Landsberg and Fowkes, 1978). 長野・石田 (1984) および長野ら (1993) は, 全根系の通水抵抗に占める吸収抵抗の割合は, ダイズ (*Glycine max* L.) およびヒマワリ (*Helianthus annuus* L.) の根系において 80~85% であり, トウモロコシ (*Zea mays* L.) の根系では 99% に達することを明らかにしている. また, 吸収抵抗は根表面と導管との間のシンプラストおよびアポプラストをとおした水輸送に対する抵抗であり, とくにシンプラスト輸送には膜透過性をはじめとする種々の生理的過程が直接的に関与する (Steudle and Jeschke, 1983; Hanson *et al.*, 1985). したがって, 全根系の通水抵抗に対する根温の作用は, 根温が膜透過性に作用していることを示唆している.

また, 12°C 以上の根温での全根系の通水抵抗についてキュウリとクロダネカボチャとの間に有意な差異はみられなかったが, 根温 8°C では, キュウリの全根系の通水抵抗がクロダネカボチャ根系

に比して大となり，その差は5%レベルで有意であった (Fig.28). このように，キュウリ根系とクロダネカボチャ根系との間に種特異的な差異が認められた. Tachibana (1982)は，キュウリ植物の地上部の生育は14℃以下の根温において著しく抑制されるが，クロダネカボチャに接木することにより低温耐性が高められることを明らかにしている. また，Eguchi and Koutaki (1986)は，根温10℃以下における蒸散速度が，キュウリ植物に比べてクロダネカボチャ植物およびクロダネカボチャを台木とした接木キュウリ植物で大となることを明らかにしている. したがって，キュウリに比してクロダネカボチャにおける全根系の通水抵抗が低い根温においても小さいことは，クロダネカボチャ植物の低温耐性に関連していると考えられる.